arXiv:math/0502117v1 [math.RT] 6 Feb 2005

CARACTÈRES DE RIGIDITÉ DU GROUPE DE GROTHENDIECK-TEICHMÜLLER

IVAN MARIN

Résumé. Soit $\mathbb{k}$ un corps (topologique) de caractéristique nulle. À l'aide d'un associateur de Drinfeld Φ on peut associer à toute représentation ρ d'une certaine $\mathbb{k}$-algèbre de Hopf $\mathfrak{B}_n(\mathbb{k})$ une représentation $\widehat{\Phi}(\rho)$ du groupe de tresses sur le corps $\mathbb{k}((h))$ des séries de Laurent. Nous étudions la dépendance en Φ de $\widehat{\Phi}(\rho)$ pour certaines représentations, dites GT-rigides, et en déduisons des représentations projectives (continues) du groupe de Grothendieck-Teichmüller $GT_1(\mathbb{k})$, donc pour $\mathbb{k} = \mathbb{Q}_l$ du groupe de Galois absolu de $\mathbb{Q}(\mu_{l^\infty})$. La plupart du temps, ces représentations projectives se décomposent en caractères linéaires, que nous déterminons pour les représentations de l'algèbre d'Iwahori-Hecke de type A. Dans ce cas, nous calculons de plus $\widehat{\Phi}(\rho)$ pour Φ un associateur pair, et en déduisons un modèle matriciel unitaire des représentations de l'algèbre d'Iwahori-Hecke. Pour l'action de $GT_1(\mathbb{k})$, les représentations de cette algèbre qui correspondent aux diagrammes de Young « en équerre » jouissent de propriétés remarquables.

Abstract. Let $\mathbb{k}$ be a (topological) field of characteristic 0. Using a Drinfeld associator, a representation $\widehat{\Phi}(\rho)$ of the braid group over the field $\mathbb{k}((h))$ of Laurent series can be associated to any representation of a certain Hopf algebra $\mathfrak{B}_n(\mathbb{k})$. We investigate the dependance in Φ of $\widehat{\Phi}(\rho)$ for a certain class of representations — so-called GT-rigid representations — and deduce from it (continuous) projective representations of the Grothendieck-Teichmüller group $GT_1(\mathbb{k})$, hence for $\mathbb{k} = \mathbb{Q}_l$ representations of the absolute Galois group of $\mathbb{Q}(\mu_{l^\infty})$. In most situations, these projective representations can be decomposed into linear characters, which we do for the representations of the Iwahori-Hecke algebra of type A. In this case, we moreover express $\widehat{\Phi}(\rho)$ when Φ is even, and get unitary matrix models for the representations of the Iwahori-Hecke algebra. With respect to the action of $GT_1(\mathbb{k})$, the representations of this algebra corresponding to hook diagrams have noticeable properties.

MSC 2000 : 14G32, 20C99, 20C08, 20F36.

1. Introduction

V.G. Drinfeld a introduit dans [3], pour tout corps $\mathbb{k}$ de caractéristique 0 et tout $\lambda \in \mathbb{k}$ une famille $\mathbb{Ass}_\lambda(\mathbb{k})$ de séries formelles Φ en deux variables non commutatives qui permettent de construire des morphismes $\widetilde{\Phi}$ d'un complété $B_n(\mathbb{k})$ du groupe de tresses B_n vers le groupe des inversibles de la complétion d'une certaine $\mathbb{k}$-algèbre de Hopf graduée $\mathfrak{B}_n(\mathbb{k})$. Ces séries sont appelées des associateurs (de Drinfeld). On en déduit dans [12] des foncteurs

$\widehat{\Phi}$ de la catégorie des représentations (ici toujours supposées de dimension finie) de $\mathfrak{B}_n(\Bbbk)$ vers la catégorie des représentations de B_n sur le corps des séries de Laurent $K = \Bbbk((h))$. L'intérêt de ces foncteurs est, d'une part, que les représentations de $\mathfrak{B}_n(\Bbbk)$ sont plus aisées à étudier et à construire que celles de B_n, et d'autre part que ces foncteurs jouissent de bonnes propriétés en termes de théorie des représentations. Notamment, l'irréductibilité et l'absolue irréductibilité des représentations est préservée. De plus, certains associateurs (les associateurs « réels », c'est-à-dire si $\Bbbk \subset \mathbb{R}$) permettent de construire des représentations unitaires de B_n — sans pour autant donner de modèle matriciel, l'explicitation de tels associateurs étant en général délicate.

La première motivation de ce travail est d'expliciter ce qui résulte d'un changement d'associateur. Si ρ est une des représentations irréductibles usuelles de $\mathfrak{B}_n(\Bbbk)$, les représentations $\widehat{\Phi}_1(\rho)$ et $\widehat{\Phi}_2(\rho)$ de B_n pour $\Phi_1, \Phi_2 \in \mathbb{Ass}_\lambda(\Bbbk)$ et $\lambda \neq 0$ sont conjuguées par des endomorphismes diagonalisables. Nous nous intéressons ici à ces endomorphismes, notamment dans le cas des représentations de l'algèbre d'Iwahori-Hecke de type A, quotient classique de l'algèbre de groupe de B_n.

La deuxième motivation concerne le groupe de Grothendieck-Teichmüller introduit par Drinfeld dans [3]. Ce groupe se décline en trois versions, le groupe profini $\widehat{GT}$, sa composante pro-l notée $GT^{(l)}$, et la version $\Bbbk$-pro-unipotente $GT(\Bbbk)$. Ils se décomposent comme produit semi-direct d'un tore et d'un sous-groupe $\widehat{GT}_1$, $GT_1^{(l)}$ ou $GT_1(\Bbbk)$. L'intérêt arithmétique de ces groupes est que le groupe de Galois absolu de $\mathbb{Q}$ se plonge naturellement dans $\widehat{GT}$. On a d'autre part des morphismes canoniques $\widehat{GT} \to GT^{(l)} \hookrightarrow GT(\mathbb{Q}_l)$, dont on déduit un morphisme du groupe de Galois absolu de $\mathbb{Q}(\mu_{l^\infty})$ vers $GT_1(\mathbb{Q}_l)$.

Ce groupe $\widehat{GT}$ (resp. $GT(\Bbbk)$) s'identifie à un groupe d'automorphismes d'une complétion pro-finie $\widehat{B_n}$ de B_n (resp. de la complétion $B_n(\Bbbk)$), de même que B_n s'identifie, par l'action d'Artin, à un groupe d'automorphismes d'un groupe libre F. Dans ce dernier cas, on obtient classiquement des représentations projectives de B_n à partir de certaines représentations de F, les « systèmes locaux rigides », c'est-à-dire les représentations irréductibles de F dont la classe d'isomorphisme est inchangée après torsion par l'action de B_n. De façon analogue, nous associons ici des représentations projectives Q_R de $GT_1(\Bbbk)$ à certaines représentations $R = \widehat{\Phi}(\rho)$, qui présentent de plus la particularité que Q_R se décompose en caractères linéaires à valeurs dans $K^\times$. Parmi ces représentations, dites GT-rigides et agrégeantes, se trouvent notamment les représentations irréductibles de l'algèbre d'Iwahori-Hecke de type A. Si $\Bbbk = \mathbb{Q}_l$, les caractères obtenus induisent enfin des caractères linéaires du groupe de Galois absolu de $\mathbb{Q}(\mu_{l^\infty})$ à valeurs dans $\mathbb{Q}_l((h))^\times$.

On note P_n le groupe de tresses pures. Les résultats principaux de l'article sont les suivants.

Théorème A. *Soit ρ une représentation absolument irréductible, GT-rigide et agrégeante de $\mathfrak{B}_n(\Bbbk)$, $R = \widehat{\Phi}(\rho)$ pour un certain $\Phi \in \mathbb{Ass}_\lambda(\Bbbk)$, $\lambda \neq 0$. Q_R*

est une représentation projective continue de $GT_1(\mathbb{k})$*, non triviale si et seulement si* $R([P_n, P_n]) = \{1\}$*. Si* $\mathbb{k} = \mathbb{Q}_l$*,* Q_R *induit une représentation continue du groupe de Galois absolu de* $\mathbb{Q}(\mu_{l^\infty})$*, non triviale ssi* $R([P_n, P_n]) = \{1\}$*.*

D'après [12], un moyen d'obtenir des représentations unitaires de B_n consiste à calculer $\widehat{\Phi}(\rho)$ pour ρ une représentation de $\mathfrak{B}_n(\mathbb{k})$ satisfaisant certaines conditions de symétrie et $\Phi \in \mathbb{A}\mathrm{ss}_\lambda(\mathbb{k})$ un associateur tel que $\mathbb{k} \subset \mathbb{R}$ et $\lambda \neq 0$. En particulier, l'unitarité des représentations de l'algèbre d'Iwahori-Hecke est expliquée par cette construction à partir de représentations particulières de $\mathfrak{B}_n(\mathbb{k})$, les représentations infinitésimales de l'algèbre d'Iwahori-Hecke. En revanche, aucun associateur réel n'étant à l'heure actuelle explicitement connu, il est en général difficile de calculer $\widehat{\Phi}(\rho)$. Néanmoins, on sait qu'existe $\Phi \in \mathbb{A}\mathrm{ss}_1(\mathbb{Q})$ *pair*, c'est-à-dire tel que $\Phi(-x, -y) = \Phi(x, y)$.

Théorème B. *Si* ρ *est une représentation infinitésimale de l'algèbre d'Iwahori-Hecke, et* $\Phi \in \mathbb{A}\mathrm{ss}_\lambda(\mathbb{k})$ *pour* $\lambda \neq 0$ *est pair, un modèle matriciel de* $\widehat{\Phi}(\rho)$ *est donné par la proposition 4. En particulier, si* $\mathbb{k} \subset \mathbb{R}$*, ces représentations sont unitaires au sens de* [12]*.*

L'étude de Q_R pour R la représentation de Burau réduite (avec n variable) fait apparaître une famille de caractères χ_d, $d \geq 2$, de $GT_1(\mathbb{k})$ vers $(\mathbb{k}[[h]])^\times$.

Théorème C. *Les caractères* χ_d*,* $d \geq 2$*, sont algébriquement indépendants. Si* R *est une représentation irréductible de l'algèbre d'Iwahori-Hecke de type* A*, les caractères intervenant dans la décomposition de* Q_R *sont des monômes (explicitement déterminés) en les* χ_d*.*

Une représentation irréductible R de l'algèbre d'Iwahori-Hecke associée à un diagramme de Young α étant donnée, une situation remarquable se produit lorsque les caractères qui interviennent dans la décomposition de Q_R sont deux à deux distincts. On dit alors que Q_R est sans résonances.

Théorème D. *La représentation* Q_R *est sans résonances si et seulement si* α *est en équerre ou correspond à la partition [2,2].*

Cet article comporte trois parties, qui exposent successivement les préliminaires nécessaires, les propriétés générales des actions de $GT_1(\mathbb{k})$ obtenues, et enfin l'étude particulière aux représentations de l'algèbre d'Iwahori-Hecke. Le théorème A est démontré en sections 3.4 et 3.5 (corollaire de la proposition 2 et proposition 3). Le théorème B est démontré en section 4.4 (proposition 4), le théorème C en section 4.5 et le théorème D en section 4.6 (proposition 6). Certains calculs utiles sont repoussés en appendice, ainsi qu'une généralisation de ces représentations projectives de $GT_1(\mathbb{k})$ en des 1-cocycles de $GT(\mathbb{k})$.

2. Préliminaires

2.1. **Tresses et tresses infinitésimales.** On note B_n pour $n \geq 1$ le groupe de tresses à n brins, en convenant $B_1 = \{e\}$. On note P_n le groupe de tresses pures, noyau de la surjection canonique $\pi : B_n \to \mathfrak{S}_n$, $\mathfrak{S}_n$ désignant le groupe symétrique sur n lettres. Pour $r < n$, on identifiera B_r au sous-groupe

de B_n formé des tresses qui laissent les $n-r$ derniers brins droits. Soit $\mathbb{k}$ un $\mathbb{Q}$-anneau, et $\mathcal{T}_n(\mathbb{k})$ la $\mathbb{k}$-algèbre de Lie d'holonomie définie par générateurs $t_{ij}, 1 \leq i,j \leq n$ et relations $t_{ii} = 0$, $t_{ij} = t_{ji}$, $[t_{ij}, t_{kl}] = 0$ si $\#\{i,j,k,l\} = 4$ et $[t_{ij}, t_{ik}+t_{kj}] = 0$ pour tous i,j,k. Soit alors $\mathfrak{B}_n(\mathbb{k})$ la version infinitésimale du groupe de tresses, c'est-à-dire le produit semi-direct de l'algèbre de groupe $\mathbb{k}\mathfrak{S}_n$ du groupe symétrique par l'algèbre enveloppante universelle de $\mathcal{T}_n(\mathbb{k})$, l'action donnant le produit semi-direct étant $s.t_{ij} = t_{s(i)s(j)}$. Ces algèbres sont naturellement graduées, par $deg(t_{ij}) = 1$ et $deg(s) = 0$ si $s \in \mathfrak{S}_n$. On note $\widehat{\mathcal{T}_n}(\mathbb{k})$ et $\widehat{\mathfrak{B}_n}(\mathbb{k})$ leur complété par rapport à cette graduation.

On notera $\sigma_1, \dots, \sigma_{n-1}$ les générateurs d'Artin classiques de B_n, $\xi_{ij} = \sigma_{j-1} \dots \sigma_{i+1}\sigma_i^2\sigma_{i+1}^{-1} \dots \sigma_{j-1}^{-1}$ les générateurs traditionnels de P_n, et

$$\delta_r = \sigma_{r-1} \dots \sigma_2\sigma_1^2\sigma_2 \dots \sigma_{r-1}.$$

Rappelons que ces éléments $\delta_2, \dots, \delta_r$ engendrent un sous-groupe abélien libre à l'intérieur de P_n, et que de plus $\delta_r = \gamma_r\gamma_{r-1}^{-1}$ où $\gamma_r = (\sigma_1 \dots \sigma_{r-1})^r \in B_r$ engendre le centre de B_r pour $r \geq 3$. Les analogues infinitésimaux de δ_r et γ_r sont notés $Y_r = t_{1r} + \dots + t_{r-1,r}$ et $Z_r = \sum_{1 \leq i,j \leq r} t_{ij}$. On a $Y_r = Z_r - Z_{r-1}$.

Soit C^rP_n pour $r \geq 0$ la suite centrale descendante de P_n, définie par $C^0P_n = P_n$, $C^1P_n = [P_n, P_n]$ (groupe des commutateurs) et $C^{r+1}P_n = [P_n, C^rP_n]$. On note $P_n(\mathbb{k})$ ce que Drinfeld appelle la complétion $\mathbb{k}$-prounipotente de P_n, c'est-à-dire la limite projective des $(P_n/C^rP_n) \otimes \mathbb{k}$. Comme la suite centrale descendante de P_n est séparante, c'est-à-dire que les sous-groupes C^rP_n ont une intersection triviale, et que de plus les quotients P_n/C^rP_n sont sans torsion, le morphisme naturel de P_n dans ces complétions est injectif. L'action par conjugaison de B_n sur son sous-groupe P_n s'étend naturellement en une action de B_n sur $P_n(\mathbb{k})$. On note $B_n(\mathbb{k})$ le quotient de $B_n \ltimes P_n(\mathbb{k})$ par le sous-groupe (distingué) engendré par les éléments $\sigma.\sigma^{-1}$ pour $\sigma \in P_n = B_n \cap P_n(\mathbb{k})$.

2.2. **Groupe libre et groupe de Hausdorff.** Soit $\mathbb{k}$ un corps de caractéristique 0, $\mathcal{A}(\mathbb{k}) = \mathbb{k} \ll x,y \gg$ la $\mathbb{k}$-algèbre des séries formelles à coefficients dans $\mathbb{k}$ en des indéterminées non commutatives x et y. Si $\mathbb{k}$ est un corps topologique, on munit $\mathcal{A}(\mathbb{k})$ de la topologie de la convergence simple de ses coefficients, ce qui en fait une $\mathbb{k}$-algèbre topologique complète. On note $\mathcal{L}(\mathbb{k})$ l'ensemble des séries de Lie formelles en x et y à coefficients dans $\mathbb{k}$, naturellement identifiée à la sous-algèbre de Lie de $\mathcal{A}(\mathbb{k})$ formée des séries de Lie en x et y, et $\mathcal{A}_+(\mathbb{k}) \subset \mathcal{A}(\mathbb{k})$ l'ensemble des éléments de terme constant nul. Inversement, $\mathcal{A}(\mathbb{k})$ s'identifie à la complétion de l'algèbre enveloppante universelle de l'algèbre de Lie libre sur x,y pour la graduation $\deg(x) = \deg(y) = 1$. L'ordre $\omega(f)$ de $f \in \mathcal{A}(\mathbb{k})$ est par définition le degré de son monôme de plus bas degré. On note encore $\mathcal{M}(\mathbb{k})$ ce que Bourbaki appelle le groupe de Magnus, c'est-à-dire le groupe des éléments de $\mathcal{A}(\mathbb{k})$ de terme constant égal à 1, et $\mathcal{H}(\mathbb{k}) = \exp \mathcal{L}(\mathbb{k}) \subset \mathcal{M}(\mathbb{k})$, c'est-à-dire le groupe de Hausdorff, ensemble des éléments de $\mathcal{A}(\mathbb{k})$ qui sont grouplike pour sa structure naturelle d'algèbre de Hopf complétée. Si $\mathbb{k}$ est un corps topologique, toutes ces parties de $\mathcal{A}(\mathbb{k})$ sont munies de la topologie induite.

Il est classique (cf. [1] ch. II §5) que l'exponentielle et le logarithme fournissent des isomorphismes entre $\mathcal{A}_+(\mathbb{k})$ et $\mathcal{M}(\mathbb{k})$ d'une part, $\mathcal{L}(\mathbb{k})$ et $\mathcal{H}(\mathbb{k})$ d'autre part. On vérifie facilement que, pour $f \in \mathcal{A}_+(\mathbb{k})$, les coefficients

de $\exp(f)$ sont des polynômes en les coefficients de f, et qu'ainsi l'application $\exp : \mathcal{A}_+(\mathbb{k}) \to \mathcal{M}(\mathbb{k})$ est continue si $\mathbb{k}$ est un corps topologique. Il en est de même pour l'application logarithme, ce qui montre que $\mathcal{A}_+(\mathbb{k})$ et $\mathcal{M}(\mathbb{k})$ d'autre part, $\mathcal{L}(\mathbb{k})$ et $\mathcal{H}(\mathbb{k})$ d'autre part, sont homéomorphes par ces applications.

Si $f(x,y) \in \mathcal{M}(\mathbb{k})$ et $u, v \in \mathcal{L}(\mathbb{k}) \subset \mathcal{A}_+(\mathbb{k})$, on définit classiquement la substitution $f(u,v)$. Si $f(x,y) \in \mathcal{M}(\mathbb{k})$ et $u, v \in \mathcal{H}(\mathbb{k}) = \exp \mathcal{L}(\mathbb{k})$, on définit, suivant l'usage de Drinfeld dans [3], $f(u,v)$ comme $f(\log(u), \log(v))$. Cette écriture s'étend naturellement et permet de définir $f(u,v)$ pour u, v dans la complétion $\mathbb{k}$-pro-unipotente de n'importe quel groupe. En particulier, pour $u, v \in P_n(\mathbb{k})$, $f(u,v) \in P_n(\mathbb{k})$.

Soit F le groupe libre en deux générateurs x, y. Il est classique (cf. [1] ch. II §5 no. 3, th. 1) que l'application $x \mapsto e^x$, $y \mapsto e^y$ se prolonge en un morphisme de groupes qui plonge F dans $\mathcal{H}(\mathbb{k})$, et que ce plongement se factorise par la complétion pro-nilpotente $\widehat{F}$ de F : on a $F \hookrightarrow \widehat{F} \hookrightarrow \mathcal{H}(\mathbb{k})$, le deuxième morphisme étant continu si $\mathbb{k}$ est un corps topologique. De même, l'application $x \mapsto 1 + x$, $y \mapsto 1 + y$ plonge F et $\widehat{F}$ dans $\mathcal{M}(\mathbb{k})$ de façon continue. Si l'on étend les notations $\mathcal{M}(\mathbb{k})$ et $\mathcal{A}(\mathbb{k})$ de façon naturelle au cas où $\mathbb{k}$ est un anneau unitaire, cette dernière application plonge en fait F et $\widehat{F}$ dans $\mathcal{M}(\mathbb{Z})$.

2.3. **Associateurs de Drinfeld.** Pour tout $\mathbb{Q}$-anneau $\mathbb{k}$ et tout $\lambda \in \mathbb{k}$, on définit suivant [3] l'ensemble $\mathbb{Ass}_\lambda(\mathbb{k})$ des $\Phi \in \mathcal{A}(\mathbb{k})$ qui satisfont les équations suivantes :

$$\Delta(\Phi) = \Phi \hat{\otimes} \Phi \tag{1}$$

$$\Phi(y,x) = \Phi(x,y)^{-1} \tag{2}$$

$$e^{\lambda x/2}\Phi(z,x)e^{\lambda z/2}\Phi(y,z)e^{\lambda y/2}\Phi(x,y) = 1 \tag{3}$$

$$(d_3\Phi)(d_1\Phi) = (d_0\Phi)(d_2\Phi)(d_4\Phi) \tag{4}$$

avec $z = -x-y$. Les équation (3) et (4) sont appelées équation de l'hexagone et du pentagone, respectivement. Dans la relation (1), le symbole $\hat{\otimes}$ désigne le produit tensoriel complété et Δ le coproduit associé à l'identification de $\mathcal{A}(\mathbb{k})$ avec la bigèbre enveloppante de $\mathcal{L}(\mathbb{k})$. Finalement, pour que l'équation (4) ait un sens, il nous faut définir

$$\left\{ \begin{array}{lcl} d_3\Phi & = & \Phi(t_{12}, t_{23} + t_{24}) \\ d_1\Phi & = & \Phi(t_{13} + t_{23}, t_{34}) \\ d_0\Phi & = & \Phi(t_{23}, t_{34}) \\ d_2\Phi & = & \Phi(t_{12} + t_{13}, t_{24} + t_{34}) \\ d_4\Phi & = & \Phi(t_{12}, t_{23}) \end{array} \right.$$

de sorte que (4) est une équation dans $\widehat{\mathsf{U}\mathcal{T}}_4(\mathbb{k})$. Remarquons finalement que l'équation (1) est équivalente à dire que $\Phi \in \mathcal{H}(\mathbb{k})$. On montre facilement que, pour tout $\mathbb{Q}$-anneau $\mathbb{k}$ et tout $\lambda \in \mathbb{k}$, $\mathbb{Ass}_\lambda(\mathbb{k}) = \mathbb{Ass}_{-\lambda}(\mathbb{k})$. En particulier, à tout $\Phi \in \mathbb{Ass}_\lambda(\mathbb{k})$ on peut associer un autre associateur $\overline{\Phi}(x,y) = \Phi(-x,-y) \in \mathbb{Ass}_\lambda(\mathbb{k})$. Si l'on suppose qu'existe un $\Phi \in \mathbb{Ass}_\lambda(\mathbb{k})$, il est facile de déterminer la forme de ses premiers termes. En particulier, il existe toujours $\mathfrak{c} \in \mathbb{k}$ tel que $\Phi(x,y)$ vaille $1 + \frac{\lambda^2}{24}[x,y] + \mathfrak{c}\,([x,[x,y]] - [y,[y,x]])$ plus des termes d'ordre supérieur (cf. par exemple [12] prop. 1). Étant donnée

l'importance pour nous de ce coefficient, nous le considérons comme une fonction $\mathfrak{c}(\Phi)$ de l'associateur.

Dans [3], Drinfeld construit explicitement un associateur $\Phi_{KZ} \in \mathbb{A}\mathrm{ss}_1(\mathbb{C})$ à partir de l'étude du système différentiel de Knizhnik et Zamolodchikov. Une formule explicite pour les coefficients de Φ_{KZ} est due à Le et Murakami. En particulier, $\mathfrak{c}(\Phi_{KZ}) = -\zeta(3)/(2\mathrm{i}\pi)^3 \neq 0$, donc $\Phi_{KZ} \neq \overline{\Phi}_{KZ}$ puisque $\mathfrak{c}(\overline{\Phi}) = -\mathfrak{c}(\Phi)$. Il introduit d'autre part l'ensemble des associateurs pairs $\mathbb{A}\mathrm{ss}^0_\lambda(\mathbb{k})$, définis comme l'ensemble des $\Phi \in \mathbb{A}\mathrm{ss}_\lambda(\mathbb{k})$ tels que $\overline{\Phi} = \Phi$, et montre $\mathbb{A}\mathrm{ss}^0_1(\mathbb{Q}) \neq 0$ (cf. [3] prop. 5.3).

Ces associateurs permettent de définir des morphismes de $B_n(\mathbb{k})$ vers le groupe $(\widehat{\mathfrak{B}_n}(\mathbb{k}))^\times$ des inversibles de $\widehat{\mathfrak{B}_n}(\mathbb{k})$. Plus précisément, à tout $\Phi \in \mathbb{A}\mathrm{ss}_\lambda(\mathbb{k})$ on associe un morphisme $\widetilde{\Phi} : B_n(\mathbb{k}) \to (\widehat{\mathfrak{B}_n}(\mathbb{k}))^\times$ tel que

$$\widetilde{\Phi}(\sigma_i) = \Phi(t_{i,i+1}, Y_i) s_i \exp(\lambda t_{i,i+1}/2)\Phi(Y_i, t_{i,i+1})$$

On vérifie aisément (cf. [12] p. 9 prop. 2) que $\widetilde{\Phi}(\delta_r) = \exp(\lambda Y_r)$ pour tout $\Phi \in \mathbb{A}\mathrm{ss}_\lambda(\mathbb{k})$ et $r \in [2, n]$.

2.4. **Le groupe de Grothendieck-Teichmüller $\mathbb{k}$-pro-unipotent.** Le groupe $GT(\mathbb{k})$ est l'ensemble des couples $(\lambda, f) \in \mathbb{k}^\times \times \mathcal{H}(\mathbb{k})$ qui vérifient $f(u, v) = f(v, u)^{-1}$ pour tous $u, v \in \mathcal{H}(\mathbb{k})$, $f(w, u)w^m f(v, w)v^m f(u, v)u^m = 1$ pour tous $u, v, w \in \mathcal{H}(\mathbb{k})$ tels que $uvw = 1$ et $m = (\lambda - 1)/2$ (équation de l'hexagone), et enfin une équation dans $P_4(\mathbb{k})$:

$$f(\xi_{12}, \xi_{23}\xi_{24}) f(\xi_{13}\xi_{23}, \xi_{34}) = f(\xi_{23}, \xi_{34}) f(\xi_{12}\xi_{13}, \xi_{24}\xi_{34}) f(\xi_{12}, \xi_{23}).$$

Si $\mathbb{k}$ est un corps topologique, on munit $GT(\mathbb{k})$ de la topologie naturelle de $\mathbb{k}^\times \times \mathcal{H}(\mathbb{k})$. C'est un groupe (topologique) muni de la loi $(\lambda_1, f_1).(\lambda_2, f_2) = (\lambda, f)$ avec $\lambda = \lambda_1\lambda_2$ et

$$f(u, v) = f_1(f_2(u, v)u^{\lambda_2} f_2(u, v)^{-1}, v^{\lambda_2}) f_2(u, v)$$

En particulier, on a un morphisme de groupes (topologiques) $GT(\mathbb{k}) \to \mathbb{k}^\times$, dont le noyau est noté $GT_1(\mathbb{k})$. Ces groupes admettent des analogues infinitésimaux, définis comme suit. Soit $GRT_1(\mathbb{k}) = \mathbb{A}\mathrm{ss}_0(\mathbb{k})$, muni de la loi $f_1.f_2 = f$ avec $f(x, y) = f_1(f_2(x, y)xf_2(x, y)^{-1}, y)f_2(x, y)$. C'est une loi de groupe (topologique) et on a une action de $\mathbb{k}^\times$ sur $GRT_1(\mathbb{k})$, définie par $c.f(x, y) = f(c^{-1}x, c^{-1}y)$. L'analogue infinitésimal de $GT(\mathbb{k})$ est alors défini comme $GRT(\mathbb{k}) = \mathbb{k}^\times \ltimes GRT_1(\mathbb{k})$. Plus généralement, la même formule donne une action à droite de $GRT_1(\mathbb{k})$ sur $\mathbb{A}\mathrm{ss}_\lambda(\mathbb{k})$, pour tout $\lambda \in \mathbb{k}$: si $\Phi \in \mathbb{A}\mathrm{ss}_\lambda(\mathbb{k})$ et $f \in \mathbb{A}\mathrm{ss}_0(\mathbb{k}) = GRT_1(\mathbb{k})$, on a $\Phi.f \in \mathbb{A}\mathrm{ss}_\lambda(\mathbb{k})$. De plus, cette action est libre et transitive d'après [3] prop. 5.5.

Le lien entre les groupes $GRT_1(\mathbb{k})$ et $GT_1(\mathbb{k})$ est donné par leur action commune sur les associateurs. On a en effet une action à gauche $(f, \Phi) \mapsto f.\Phi$ de $GT_1(\mathbb{k})$ sur $\mathbb{A}\mathrm{ss}_\lambda(\mathbb{k})$, où

$$(f.\Phi)(x, y) = f(\Phi(x, y) \exp(x)\Phi(x, y)^{-1}, \exp(y))\Phi(x, y).$$

Comme cette action est également libre et transitive d'après [3] prop. 5.1 et que les deux actions commutent, à tout $\Phi \in \mathbb{A}\mathrm{ss}_\lambda(\mathbb{k})$ est associé un isomorphisme $\iota_\Phi : GRT_1(\mathbb{k}) \to GT_1(\mathbb{k})$ défini par $\Phi.f = \iota_\Phi(f).\Phi$ pour tout $f \in GRT_1(\mathbb{k})$.

Le groupe $GT_1(\Bbbk)$ agit à droite sur $B_n(\Bbbk)$ par les formules $\sigma_1 \mapsto \sigma_1$, $\sigma_r \mapsto f(\delta_r, \sigma_r^2)^{-1}\sigma_r f(\delta_r, \sigma_r^2)$ pour $f \in GT_1(\Bbbk)$. De plus, pour tous $\Phi \in \mathbb{A}\mathrm{ss}_1(\Bbbk)$, $\sigma \in B_n$ et $f \in GT_1(\Bbbk)$, on a $\widetilde{\Phi}(\sigma.f) = \widetilde{(f.\Phi)}(\sigma)$. Effet, il suffit de vérifier cette égalité sur les générateurs d'Artin parce que $GT_1(\Bbbk)$ agit sur $B_n(\Bbbk)$ par automorphismes de groupe ; or $\widetilde{(f.\Phi)}(\sigma_r) = Q\widetilde{\Phi}(\sigma_r)Q^{-1}$ avec Q égal à

$$f\left(\Phi(t_{r,r+1}, Y_r)\exp(t_{r,r+1})\Phi(Y_r, t_{r,r+1}), \exp Y_r\right) = f\left(\widetilde{\Phi}(\sigma_r^2), \widetilde{\Phi}(\delta_r)\right).$$

On en déduit l'égalité voulue.

2.5. **Un résultat de densité.** Le but de ce paragraphe est de démontrer le théorème suivant.

Thorme 1. *Si L est un corps topologique et $L' \subset L$ est un sous-corps topologique dense de L, alors $GT_1(L')$ est dense dans $GT_1(L)$.*

Pour démontrer le théorème, on choisit $\Phi \in \mathbb{A}\mathrm{ss}_1(\mathbb{Q}) \subset \mathbb{A}\mathrm{ss}_1(L') \subset \mathbb{A}\mathrm{ss}_1(L)$ et on utilise l'isomorphisme ι_Φ entre $GRT_1(L)$ et $GT_1(L)$. Il envoie $GRT_1(L')$ sur $GT_1(L')$. Ces isomorphismes respectent la topologie, comme le montre le lemme suivant.

Lemme 1. *Soit $\Bbbk$ un corps topologique. La bijection ι_Φ associée à $\Phi \in \mathbb{A}\mathrm{ss}_1(\Bbbk)$ entre $GRT_1(\Bbbk)$ et $GT_1(\Bbbk)$ est un homéomorphisme.*

Démonstration. Soit $g \in GRT_1(\Bbbk)$ et $f = \iota_\Phi(g) \in GT_1(\Bbbk)$. Par définition, la relation entre f et g est donnée par les formules

$$\Phi'(x,y) = \Phi(g(x,y)xg(x,y)^{-1}, y)g(x,y) \tag{5}$$

$$\Phi'(x,y) = f(\Phi(x,y)\exp(x)\Phi(x,y)^{-1}, \exp(y))\Phi(x,y) \tag{6}$$

Il est clair que la relation (5) associe continument, à tout élément $g \in \mathcal{M}(\Bbbk)$, un élément $\Phi' \in \mathcal{M}(\Bbbk)$. Posant $f = \exp \circ F$ avec $F \in \mathcal{L}(\Bbbk)$, la relation (6) dit qu'alors

$$F\left(\log\left(\Phi(x,y)\exp(x)\Phi(x,y)^{-1}\right), y\right) = \log\left(\Phi'(x,y)\Phi(x,y)^{-1}\right).$$

Or il existe $P \in \mathcal{A}(\Bbbk)$, $\omega(P) \geq 2$, tel que $\log\left(\Phi(x,y)\exp(x)\Phi(x,y)^{-1}\right)$ vaille $x + P$. Comme l'application $\Phi' \mapsto \log\left(\Phi'\Phi^{-1}\right)$ est continue, il suffit de montrer que l'endomorphisme continu Δ du $\Bbbk$-espace vectoriel topologique $\mathcal{A}_+(\Bbbk)$ défini par $F(x,y) \mapsto F(x+P, y)$ admet une réciproque continue. Or, pour tout $F \in \mathcal{A}_+(\Bbbk)$, $(\Delta - \mathrm{Id})(F)$ est d'ordre strictement supérieur à $\omega(F)$, ainsi l'ordre de $(\Delta - \mathrm{Id})^n(F)$ est au moins $\omega(F) + n$ et $\Delta^{-1} = \sum(\Delta - \mathrm{Id})^n(-1)^n$ est continu pour la topologie de la convergence simple puisque chaque $(\Delta - \mathrm{Id})^n$ l'est. La continuité du morphisme inverse $GT_1(\Bbbk) \to GRT_1(\Bbbk)$ se montre de même. □

Il suffit donc de montrer que $GRT_1(L')$ est dense dans $GRT_1(L)$. Or, pour tout corps $\Bbbk$, $GRT_1(\Bbbk)$ est naturellement défini comme l'ensemble des $\Bbbk$-points d'un $\mathbb{Q}$-schéma en groupe pro-unipotent GRT_1 dont l'algèbre de Lie $\mathfrak{grt}_1$ est une sous-algèbre de Lie de $\mathcal{L}$ définie par des équations linéaires (cf. [3] p. 851 et prop. 5.7) à coefficients rationnels. On en déduit $\mathfrak{grt}_1(L) = \mathfrak{grt}_1(L') \otimes_{L'} L$, et $\mathfrak{grt}_1(L')$ est dense dans $\mathfrak{grt}_1(L)$. Pour avoir la conclusion du théorème, il suffit de montrer que l'application exponentielle de cette algèbre de Lie dans son groupe de Lie est continue. Pour tout $f \in \mathcal{A}_+(\Bbbk)$,

notons D_f l'unique dérivation continue de $\mathcal{A}(\mathbb{k})$ qui vérifie $D_f(x) = [f,x]$ et $D_f(y) = 0$, et s_f l'endomorphisme linéaire de $\mathcal{A}(\mathbb{k})$ qui à $g \in \mathcal{A}(\mathbb{k})$ associe $s_f(g) = gf + D_f(g)$. On a $\omega(s_f(g)) > \omega(g)$. Comme GRT_1 est pro-unipotent en tant que schéma en groupe sur $\mathbb{Q}$, l'application exponentielle associée est surjective. L'image de $f \in \mathfrak{grt}_1(\mathbb{k})$ dans $GRT_1(\mathbb{k})$ est donnée par $\exp(s_f)(1)$ (cf. [3], ou [13] prop. 2.9 pour plus de détails), on en déduit que cette application est continue. Le théorème est ainsi démontré.

2.6. **Caractères de Soulé.** Pour l un nombre premier, notons μ_{l^∞} la limite inductive sur n des μ_{l^n} et Γ le groupe de Galois absolu de $\mathbb{Q}(\mu_{l^\infty})$, muni de sa topologie naturelle de groupe profini.

Soulé a défini une classe de caractères de Γ à valeurs dans le groupe additif $\mathbb{Z}_l$, dont nous rappelons brièvement la construction. Soit $m \geq 3$ impair. Pour tout $n \geq 1$ (resp. $n \geq 2$ si $l = 2$) on note ζ_n une racine primitive l^n-ième de 1, et

$$\epsilon_{m,n} = \prod_a (\zeta_n^a - 1)^{[a^{m-1}]}$$

où a parcourt les entiers strictement compris entre 0 et l^n qui sont premiers à l et $[a^{m-1}]$ désigne le reste de la division euclidienne de a^{m-1} par l^n. Comme $m-1$ est pair, $\epsilon_{m,n}$ est totalement réel et totalement positif. Pour $u, v > 0$ on note $u^v = \exp(v \log u)$. Il existe alors, pour tout $\sigma \in \Gamma$, un unique $\kappa_m(\sigma) \in \mathbb{Z}_l$ tel que, pour tout $n \geq 1$ ($n \geq 2$ si $l = 2$),

$$\sigma((\epsilon_{m,n}^{\frac{1}{l^n}}) = \sigma(\epsilon_{m,n})^{\frac{1}{l^n}} \zeta_n^{\kappa_m(\sigma)}$$

Ces applications κ_m sont les caractères de Soulé.

Si $l = 2$, $\epsilon_{3,2} = \epsilon_{3,3} = \epsilon_{5,3} = \epsilon_{5,2} = 2$, donc $\kappa_3(\sigma)$ et $\kappa_5(\sigma)$ sont congrus modulo 8. D'autre part, le fait que $\sqrt{2} \in \mathbb{Q}(\mu_8)$ implique que $\kappa_3(\sigma)$ est divisible par 2. Si $l = 3$ on a $\epsilon_{3,1} = \epsilon_{5,1} = (j-1)(j^2-1) = 3$, donc de même $\kappa_3(\sigma)$ est congru à $\kappa_5(\sigma)$ modulo 3.

On utilisera également la notation, à l fixé, $\kappa_m^*(\sigma) = \kappa_m(\sigma)/(l^{m-1}-1)$. Le principal résultat dont nous aurons besoin concernant ces caractères est le suivant :

Proposition 1. *Pour tout nombre premier l, $\kappa_3 \neq 0$.*

Démonstration. Si l est impair, cela découle du résultat général de Soulé sur la non trivialité des κ_m (cf. [14, 15], voir également [5]). Le cas $l = 2$ est élémentaire : il suffit en effet de montrer que $X^4 - 2$ n'admet pas de racine dans $L = \mathbb{Q}(\mu_{2^\infty})$, extension galoisienne abélienne de $\mathbb{Q}$. C'est le cas, soit parce que $\mathbb{Q}(\sqrt[4]{2}) \subset \mathbb{R}$ serait autrement une extension galoisienne de $\mathbb{Q}$ (car $\mathrm{Gal}(L|\mathbb{Q})$ aurait $\mathrm{Gal}(\mathbb{Q}(\sqrt[4]{2})|\mathbb{Q})$ comme sous-groupe, nécessairement distingué), soit parce que $\mathbb{Q}(\sqrt[4]{2}, \mathrm{i})$, extension non abélienne de $\mathbb{Q}$, serait autrement incluse dans L. □

On a un morphisme $\mathrm{Gal}(\overline{\mathbb{Q}}|\mathbb{Q}) \to GT(\mathbb{Q}_l)$ (cf. [3, 6]). Son composé avec le morphisme naturel $GT(\mathbb{Q}_l) \to \mathbb{Q}_l^\times$ est la composante en l du caractère cyclotomique. On en déduit un morphisme m du groupe de Galois absolu de $\mathbb{Q}(\mu_{l^\infty})$ vers $GT_1(\mathbb{Q}_l)$. Pour alléger les notations, pour $\sigma \in \mathrm{Gal}(\overline{\mathbb{Q}}|\mathbb{Q}(\mu_{l^\infty}))$ nous noterons $\sigma.\Phi$, $\chi(\sigma)$ pour $m(\sigma).\Phi$, $\chi \circ m(\sigma)$.

2.7. $GT_1(\Bbbk)$ **et** $GRT_1(\Bbbk)$ **en degré 3.** On note $w_x = [x,[x,y]]$ et $w_y = [y,[y,x]]$. Soient $\lambda \in \Bbbk^\times$, $\Phi \in \mathbb{A}\mathrm{ss}_\lambda(\Bbbk)$, $f \in GRT_1(\Bbbk)$, $F \in GT_1(\Bbbk)$. Pour $a, b \in \mathcal{A}(\Bbbk)$, on note $a \equiv b$ si $\omega(a-b) \geq 4$. On sait qu'existe $\mathfrak{c} \in \Bbbk$ tel que $\Phi \equiv 1 + \frac{\lambda^2}{24}[x,y] + \mathfrak{c}(w_x - w_y)$. Comme $GRT_1(\Bbbk) = \mathbb{A}\mathrm{ss}_0(\Bbbk)$, il existe $z \in \Bbbk$ tel que $f \equiv 1 + z(w_x - w_y)$. Comme $F \in \mathcal{H}(\Bbbk)$, $F = \exp\psi$ pour un certain $\psi \in \mathcal{L}(\Bbbk)$. On a donc $\psi \equiv a_1 x + a_2 y + a_3[x,y] + a_4 w_x + a_5 w_y$ pour certaines valeurs des $a_i \in \Bbbk$. L'équation $F(u,v)F(v,u) = 1$ implique $a_2 = -a_1$ en degré 1, puis $a_1 = 0$ en degré 2, l'équation de l'hexagone en degré 2 implique $a_3 = 0$, et enfin la première équation en degré 3 implique $a_5 + a_4 = 0$: il existe donc $z' \in \Bbbk$ tel que $F \equiv 1 + z'(w_x - w_y)$. Les valeurs $z, \lambda, \mathfrak{c}, z'$ étant fixées,

$$\begin{array}{rclcl} (\Phi.f)(x,y) & = & \Phi(fxf^{-1},y)f & \equiv & 1 + \frac{\lambda^2}{24}[x,y] + (\mathfrak{c}+z)(w_x - w_y) \\ (F.\Phi)(x,y) & = & F(\Phi e^x \Phi^{-1}, e^y)\Phi & \equiv & 1 + \frac{\lambda^2}{24}[x,y] + (\mathfrak{c}+z')(w_x - w_y) \end{array}$$

L'isomorphisme ι_Φ associé à Φ induit donc toujours l'identité en degré 3 (c'est également une conséquence élémentaire du théorème de Drinfeld selon lequel le gradué de l'algèbre de Lie de $GT_1(\Bbbk)$ est isomorphe à $\mathfrak{grt}_1(\Bbbk)$). D'autre part, $\mathfrak{grt}_1(\Bbbk)$ est une $\Bbbk$-algèbre de Lie graduée qui contient l'élément $w_x - w_y$ donc, pour tout $z \in \Bbbk$, $GRT_1(\Bbbk)$ contient l'exponentielle (au sens du groupe) de $z(w_x - w_y)$, qui est congrue à $1 + z(w_x - w_y)$. En particulier, on déduit des formules précédentes et de l'existence, pour tout $\lambda \in \Bbbk$, d'un associateur $\Phi \in \mathbb{A}\mathrm{ss}_\lambda(\Bbbk)$ le lemme suivant.

Lemme 2. *Pour tous $\mathfrak{c}, \lambda \in \Bbbk$, il existe $\Phi \in \mathbb{A}\mathrm{ss}_\lambda(\Bbbk)$ tel que $\mathfrak{c}(\Phi) = \mathfrak{c}$. En particulier, pour tout $\lambda \in \Bbbk$ il existe $\Phi \in \mathbb{A}\mathrm{ss}_\lambda(\Bbbk)$ tel que $\mathfrak{c}(\Phi) \neq 0$.*

Nous allons également déterminer le terme de degré 3 pour l'image du groupe de Galois. On a un morphisme du groupe de Galois absolu de $\mathbb{Q}(\mu_{l^\infty})$ vers le groupe de Grothendieck-Teichmüller pro-l, qui envoie un élément σ du groupe de Galois sur un élément f^σ du complété pro-l F_l du groupe libre en deux générateurs u, v. Il est classique que F_l se plonge dans $\mathcal{H}(\mathbb{Q}_l)$ par l'application $u \mapsto e^x$, $v \mapsto e^y$. L'image de f^σ par ce morphisme sera notée Df^σ. On a $Df^\sigma \in GT_1(\mathbb{Q}_l)$.

On peut également plonger F_l dans $\mathcal{A}(\mathbb{Z}_l)$ en envoyant u et v respectivement sur $1+x$ et $1+y$. On note $If^\sigma \in \mathcal{A}(\mathbb{Z}_l)$ l'image de f^σ par ce morphisme. On a immédiatement, dans $\mathcal{A}(\mathbb{Q}_l)$,

$$Df^\sigma(\log(1+x), \log(1+y)) = If^\sigma(x,y), \quad If^\sigma(e^x - 1, e^y - 1) = Df^\sigma(x,y).$$

Introduisons alors, suivant Y. Ihara (cf. [6]), la décomposition naturelle $\mathcal{A}(\Bbbk) = \Bbbk \oplus \mathcal{A}(\Bbbk)x \oplus \mathcal{A}(\Bbbk)y$, notons p_x la projection sur les deux premières composante, et π_{ab} la restriction du morphisme d'abélianisation $\mathcal{A}(\Bbbk) \to \Bbbk[x,y]$ à $\Bbbk \oplus \mathcal{A}(\Bbbk)x$. Ihara montre que

$$\psi^\sigma_{ab} = \pi_{ab} \circ p_x(If^\sigma) = \exp\left(\sum_{\substack{m \geq 3 \\ m \text{ impair}}} \frac{\kappa^*_m(\sigma)}{m!}\left((X+Y)^m - X^m - Y^m\right) \right)$$

avec $X = \log(1+x)$, $Y = \log(1+y)$. En particulier, $\psi^\sigma_{ab} \equiv 1 + \kappa^*_3(\sigma)(yx^2 + y^2x)/2$. Alors, si $Df^\sigma \equiv 1 + \alpha(w_x - w_y)$, on a $If^\sigma \equiv Df^\sigma$ et, de $\pi_{ab} \circ$

$p_x(w_x) = -x^2 y$ et $\pi_{ab} \circ p_x(w_y) = y^2 x$, on déduit $\psi^{\sigma}_{ab} = 1 - \alpha(y^2 x + yx^2)$ et $\alpha = -\kappa^*_3(\sigma)/2$. On a donc montré

Lemme 3. *L'image de $\sigma \in \mathrm{Gal}(\overline{\mathbb{Q}}|\mathbb{Q}(\mu_{l^\infty}))$ dans $GT_1(\mathbb{Q}_l)$ vaut*

$$1 - \frac{\kappa^*_3(\sigma)}{2}([x,[x,y]] - [y,[y,x]])$$

plus des termes d'ordre supérieurs. Pour tout $\Phi \in \mathbb{A}\mathrm{ss}_\lambda(\mathbb{Q}_l)$,

$$\mathfrak{c}(\sigma.\Phi) = \mathfrak{c}(\Phi) - \frac{\kappa^*_3(\sigma)}{2}.$$

3. Action de $GT_1(\mathbb{k})$ sur les représentations de B_n

3.1. **Généralités.** Soit $\mathbb{k}$ un corps de caractéristique 0, $A = \mathbb{k}[[h]]$, $K = \mathbb{k}((h))$. Soit

$$V_N(\mathbb{k}) = \{R \in \mathrm{Hom}(B_n, GL_N(A)) \ | \ R(C^r P_n) \subset 1 + h^{r+1} M_N(A)\}.$$

On a $V_N(\mathbb{k}) \subset \mathrm{Hom}(B_n, GL_N(A)) \subset \mathrm{Hom}(B_n, GL_N(K))$. Tout $R \in V_N(\mathbb{k})$ se prolonge naturellement en $\tilde{R} \in \mathrm{Hom}(B_n(\mathbb{k}), GL_N(A))$. On en déduit une action à gauche de $GT_1(\mathbb{k})$ sur $V_N(\mathbb{k})$: à $R \in V_N(\mathbb{k})$ et $f \in GT_1(\mathbb{k})$ est associé $f.R = S$ définie par $S(\sigma) = \tilde{R}(\sigma.f)$ pour tous $\sigma \in B_n$. Soit maintenant $\mathcal{V}(\mathbb{k}) = \mathrm{Hom}(\mathfrak{B}_n(\mathbb{k}), M_N(\mathbb{k}))$ et $\Phi \in \mathbb{A}\mathrm{ss}_\lambda(\mathbb{k})$. A tout $\rho \in \mathcal{V}(\mathbb{k})$ on associe $\overline{\rho} \in \mathrm{Hom}(\widehat{\mathfrak{B}_n}(\mathbb{k}), M_N(A))$ définie par $\overline{\rho}(t_{ij}) = ht_{ij}$, $\overline{\rho}(s) = \rho(s)$ pour $s \in \mathfrak{S}_n$, et $\widehat{\Phi}(\rho) = \overline{\rho} \circ \widetilde{\Phi} \in \mathrm{Hom}(B_n, GL_N(A))$. On vérifie aisément $\widehat{\Phi}(\rho) \in V_N(\mathbb{k})$. Les propriétés de théorie des représentations du foncteur $\widehat{\Phi}$ ont été étudiées par l'auteur dans [12].

Soit maintenant $f \in GT_1(\mathbb{k})$. On a, pour tout $\sigma \in B_n$,

$$\begin{array}{rclcl} \left[f.\widehat{\Phi}(\rho)\right](\sigma) & = & \widehat{\Phi}(\rho)(\sigma.f) & = & \overline{\rho} \circ \widetilde{\Phi}(\sigma.f) \\ & = & \overline{\rho} \circ \widetilde{(f.\Phi)}(\sigma) & = & \widehat{(f.\Phi)}(\rho)(\sigma) \\ & = & \widehat{\Phi.\iota_\Phi^{-1}(f)}(\rho)(\sigma) & & \end{array}$$

d'où $f.\widehat{\Phi}(\rho) = \widehat{f.\Phi}(\rho) = \widehat{\Phi.\iota_\Phi^{-1}(f)}(\rho)$. On s'intéresse ici à une classe particulière de représentations de B_n. Nous dirons d'une représentation $R : B_n \to GL_N(A)$ qu'elle est (absolument) irréductible s'il en est ainsi dans $GL_N(K)$. Deux telles représentations R et R' seront dites isomorphes si elles le sont dans $GL_N(K)$.

Définition 1. *Une représentation absolument irréductible $R \in V_N(\mathbb{k})$ est dite* GT-rigide *si $g.R$ est isomorphe à R pour tout $g \in GT_1(\mathbb{k})$.*

Comme l'action de $GT_1(\mathbb{k})$ sur $V_N(\mathbb{k})$ commute à l'action par conjugaison à droite de $PGL_N(K)$ sur $\mathrm{Hom}(B_n, GL_N(K))$, on associe à tout $R \in V_N(\mathbb{k})$ GT-rigide une représentation projective $Q_R : GT_1(\mathbb{k}) \to PGL_N(K)$ par $g.R = Q_R(g)^{-1} R Q_R(g) = R.Q_R(g)$.

Soit $\rho : \mathfrak{B}_n(\mathbb{k}) \to M_N(\mathbb{k})$ une représentation absolument irréductible de $\mathfrak{B}_n(\mathbb{k})$. D'après [12] la représentation $\widehat{\Phi}(\rho)$ associée est absolument irréductible pour tout $\Phi \in \mathbb{A}\mathrm{ss}_\lambda(\mathbb{k})$, pourvu que $\lambda \in \mathbb{k}^\times$. Si $\widehat{\Phi}(\rho)$ est GT-rigide pour un tel Φ, il en sera de même pour tous. Par abus, nous dirons alors que ρ est GT-rigide.

D'autre part, si $R = \widehat{\Phi}(\rho)$ est GT-rigide, cette représentation s'étend en une représentation de $GT_1(L)$ dans $PGL_N(L((h)))$ pour tout surcorps L de $\mathbb{k}$. Enfin, pour toutes représentations $R_1 \in V_{N_1}(\mathbb{k})$, $R_2 \in V_{N_2}(\mathbb{k})$, $g \in GT_1(\mathbb{k})$ et $\sigma \in B_n$, on a $R_1 \otimes R_2 \in V_{N_1 N_2}(\mathbb{k})$ et $(g.(R_1 \otimes R_2))(\sigma) = \widetilde{R_1 \otimes R_2}(\sigma.g) = \widetilde{R_1}(\sigma.g) \otimes \widetilde{R_2}(\sigma.g)$ donc $g.(R_1 \otimes R_2) = (g.R_1) \otimes (g.R_2)$. Si R_1 et R_2 sont GT-rigides, on en déduit que $R_1 \otimes R_2$ est conjuguée à $g.(R_1 \otimes R_2)$ par $Q_{R_1} \otimes Q_{R_2}$.

3.2. **Agrégeance et caractères.**

3.2.1. *Action de* $\mathbb{G}_m(\mathbb{k})$. On identifie $\mathbb{G}_m(\mathbb{k}) = \mathbb{k}^\times$ à un sous-groupe des $\mathbb{k}$-automorphismes de $K = \mathbb{k}((h))$, en faisant agir $\alpha \in \mathbb{G}_m(\mathbb{k})$ sur $f(h) \in K$ par $f \mapsto f^\alpha$ avec $f^\alpha(h) = f(\alpha h)$. L'anneau $A \subset K$ est laissé stable. Si $\mathbb{k}$ est un corps topologique, cette action est continue. Elle s'étend naturellement à $GL_N(K)$ et $PGL_N(K)$, donc également à $\mathrm{Hom}(G, GL_N(K))$ et $\mathrm{Hom}(G, PGL_N(K))$ pour tout groupe G. Soit $R \in V_N(\mathbb{k})$. Il existe a priori deux façons de faire agir $\alpha \in \mathbb{G}_m(\mathbb{k})$ sur $\widetilde{R}$, soit par $\widetilde{R^\alpha}$, soit par $(\widetilde{R})^\alpha$, c'est-à-dire par l'action de $\mathbb{G}_m(\mathbb{k})$ soit sur $\mathrm{Hom}(B_n, GL_N(A))$, soit sur $\mathrm{Hom}(B_n(\mathbb{k}), GL_N(K))$. Comme l'action de $\mathbb{G}_m(\mathbb{k})$ sur K est continue pour la topologie h-adique (ce qui revient à munir $\mathbb{k}$ de la topologie discrète), on vérifie facilement que $\widetilde{R^\alpha} = (\widetilde{R})^\alpha$, donc que l'action de $\mathbb{G}_m(\mathbb{k})$ est bien définie. De plus, $V_N(\mathbb{k})$ est stable sous l'action de $\mathbb{G}_m(\mathbb{k})$. On en déduit que l'action de $GT_1(\mathbb{k})$ sur $V_N(\mathbb{k})$ commute à celle de $\mathbb{G}_m(\mathbb{k})$: pour tous $g \in GT_1(\mathbb{k})$, $\alpha \in \mathbb{G}_m(\mathbb{k})$, $g.R^\alpha = (g.R)^\alpha$. En particulier, si R est GT-rigide, R^α l'est également pour tout $\alpha \in \mathbb{G}_m(\mathbb{k})$ et $Q_{R^\alpha} = (Q_R)^\alpha$. D'autre part, $\mathbb{G}_m(\mathbb{k})$ agit par automorphismes sur $\mathfrak{B}_n(\mathbb{k})$: à $\alpha \in \mathbb{G}_m(\mathbb{k})$ on associe l'unique automorphisme d'algèbre de Hopf tel que $t_{ij} \mapsto \alpha t_{ij}$ pour $1 \leq i, j \leq n$ et qui laisse $\mathfrak{S}_n \subset \mathfrak{B}_n(\mathbb{k})$ invariant. On en déduit une action $\rho \mapsto \rho^\alpha$ sur $\mathcal{V}_N(\mathbb{k})$; elle vérifie $\widehat{\Phi}(\rho^\alpha) = \widehat{\Phi}(\rho)^\alpha$ pour tout $\Phi \in \mathbb{A}\mathrm{ss}_\lambda(\mathbb{k})$.

3.2.2. *Représentations agrégeantes.* Soit $\mathcal{D}_n$ la sous-algèbre de Lie commutative de $\mathcal{T}_n$ engendrée par $Y_2, \ldots, Y_n$. Suivant [12] on appelle agrégeante toute $\rho : \mathfrak{B}_n(\mathbb{k}) \to M_N(\mathbb{k})$ telle que $\rho(\mathsf{U}\mathcal{D}_n)$ égale la sous-algèbre de $M_N(\mathbb{k})$ formée des matrices diagonales. Pour une représentation agrégeante, l'irréductibilité équivaut à l'absolue irréductibilité (cf. [11], cor. 2 de la prop. 3). De plus, si $\rho_1 \in \mathcal{V}_{N_1}(\mathbb{k})$ et $\rho_2 \in \mathcal{V}_{N_2}(\mathbb{k})$ sont deux représentations agrégeantes et (absolument) irréductibles, il en est de même de $\rho_1^{\alpha_1} \otimes \rho_2^{\alpha_2}$ pour $(\alpha_1, \alpha_2) \in \mathbb{G}_m(\mathbb{k})^2$ générique d'après [11].

Soit D_n le sous-groupe abélien libre de P_n engendré par $\delta_2, \ldots, \delta_n$. Supposons que $R \in V_N(\mathbb{k})$ est GT-rigide et telle que $R(\delta_2), ..., R(\delta_n)$ engendre la sous-algèbre de $M_N(K)$ formée des matrices diagonales. Cette dernière condition est en particulier satisfaite si $R = \widehat{\Phi}(\rho)$ pour un certain $\Phi \in \mathbb{A}\mathrm{ss}_\lambda(\mathbb{k})$, $\lambda \in \mathbb{k}^\times$ et $\rho \in \mathcal{V}_N(\mathbb{k})$ agrégeante, puisqu'alors $R(\delta_r) = \exp(\lambda h Y_r)$ pour $r \in [2, n]$. D'autre part, pour tout $r \in [2, n]$ et pour tout $g \in GT_1(\mathbb{k})$, $\delta_r.g = \delta_r$. Cette égalité peut se démontrer directement à partir des équations de définition de $GT_1(\mathbb{k})$, ou se déduire de l'existence d'un $\Phi \in \mathbb{A}\mathrm{ss}_1(\mathbb{k})$: on a $\widetilde{\Phi}(\delta_r.g) = \widetilde{(f.\Phi)}(\delta_r) = \widetilde{\Phi}(\delta_r)$, donc $\delta_r.g = \delta_r$. On en déduit $(g.R)(\delta_r) =$

$R(\delta_r)$, donc tout $Q_R(g)$ commute à $R(\delta_r)$ pour tout $r \in [2,n]$, et appartient ainsi à l'image dans $PGL_N(K)$ des matrices diagonales inversibles de $M_N(K)$.

En particulier, l'image de $GT_1(\mathbb{k})$ dans $PGL_N(K)$ est commutative donc, si $R = \widehat{\Phi}(\rho)$, Q_R ne dépend pas du choix de $\Phi \in \mathbb{A}\mathrm{ss}_1(\mathbb{k})$. En effet, si l'on pose $\Phi' = \tau.\Phi$ pour un certain $\tau \in GT_1(\mathbb{k})$ et $R' = \widehat{\Phi'}(\rho)$, pour tout $g \in GT_1(\mathbb{k})$ on a alors $Q_{R'}(g) = Q_R(\tau^{-1}g\tau) = Q_R(g)$.

3.2.3. *Propriétés des caractères.* Le morphisme de $(K^\times)^N$ vers $\mathbb{G}_m(K)^{N-1}$ défini par $(x_1,\dots,x_N) \mapsto (x_2/x_1, x_3/x_2, \dots, x_N/x_{N-1})$ de noyau $K^\times$ induit un isomorphisme $(K^\times)^N/K^\times \to \mathbb{G}_m(K)^{N-1}$. On en déduit $N-1$ caractères $GT_1(\mathbb{k}) \to \mathbb{G}_m(K)$ de $GT_1(\mathbb{k})$ que l'on numérote $Q_{R,2},\dots,Q_{R,N}$ suivant l'ordre des vecteurs de base de K^N. Naturellement et par convention, on pose $Q_{R,1} = 1$. Pour tout $\alpha \in \mathbb{G}_m(\mathbb{k})$ on a $Q_{R^\alpha,i} = (Q_{R,i})^\alpha$. Si ces $N-1$ caractères sont distincts et non triviaux, nous dirons que R est *sans résonances*. Cette dernière propriété ne dépend pas de l'ordre des vecteurs de base que l'on a choisi.

De plus, comme R est absolument irréductible, il existe $\sigma \in \mathbb{k}B_n$ tel que $R(\sigma) \in M_N(A)$ ait tous ses coefficients non nuls. Pour tout $g \in GT_1(\mathbb{k})$, on a alors $Q_R(g)(g.R)(\sigma) = R(\sigma)Q_R(g)$. Si l'on note sous forme matricielle $R(\sigma) = (x_{ij})$, $(g.R)(\sigma) = (y_{ij}(g))$ pour $1 \le i,j \le N$, $Q_R(g) = \mathrm{diag}(a_1,a_2,\dots,a_n)$ avec $a_i = Q_{R,i}(g)$, cette équation est équivalente à $x_{ij}a_j = a_i y_{i,j}(g)$ pour tous i,j. En particulier, $Q_{R,j}(g) = y_{1,j}(g)/x_{1,j}$ pour tout j. Si $\mathbb{k}$ est un corps topologique on en déduit que chaque $Q_{R,i}$ est continu, chaque $y_{1,j}$ étant une fonction continue de $g \in GT_1(\mathbb{k})$.

Pour $R \in V_N(\mathbb{k})$, notons $\overline{R} \in \mathrm{Hom}(B_n, GL_N(\mathbb{k}))$ la réduction de R modulo h. Comme $R(P_n) \subset 1 + hM_N(A)$, $\overline{R}$ se factorise par $\mathfrak{S}_n$. C'est la représentation du groupe symétrique associée à R. Si $R = \widehat{\Phi}(\rho)$, $\overline{R}$ s'identifie à la restriction de ρ à $\mathfrak{S}_n$. Pour la représentation R choisie ici, si $\overline{R}$ est (absolument) irréductible on peut choisir $\sigma \in \mathbb{k}B_n$ tel que $\overline{R}(\sigma)$ ait tous ses coefficients non nuls, donc chaque x_{1j} est inversible dans A. On en déduit que chaque $Q_{R,i}$ est alors à valeur dans $\mathbb{G}_m(A)$. Nous avons montré dans [9] que cette situation (i.e. que $\overline{R}$ est absolument irréductible) a lieu essentiellement lorsque R se factorise par l'algèbre d'Iwahori-Hecke (cf. [9]).

De façon générale, si l'on suppose $R = \widehat{\Phi}(\rho)$ pour un certain $\Phi \in \mathbb{A}\mathrm{ss}_1(\mathbb{k})$ et ρ absolument irréductible et agrégeante, les caractères sont toujours à valeurs dans $A_1 = \exp A_0$, où $A_0 = hA$ et $A_1 = 1 + hA$. En effet, il existe alors (voir [12] section 3.1.2) un élément $\sigma \in KB_n$ indépendant du choix de $\Phi \in \mathbb{A}\mathrm{ss}_1(\mathbb{k})$ tel que $\widehat{\Phi}(\rho)(\sigma) = m_0 + hm$ avec $m \in M_N(A)$ et m_0 l'élément de $M_N(\mathbb{k})$ dont tous les coefficients sont égaux à 1. On en déduit $Q_{R,j}(g) \in A_1$ pour tout $g \in GT_1(\mathbb{k})$.

Sous certaines conditions (d' « unitarité ») on peut alors montrer que le logarithme de ces caractères est une série formelle *impaire* en h sans terme linéaire (voir en 4.5).

3.3. **Continuité.** Nous démontrons que les représentations projectives $Q_R : GT_1(\mathbb{k}) \to K^\times$ sont continues si $\mathbb{k}$ est un corps topologique. Cela découle de considérations générales que nous rappelons ici par manque de références adéquates.

Si K est un corps topologique et $\mathcal{A}$ une K-algèbre à unité de type fini (munie de la topologie induite), l'ensemble de morphismes d'algèbres à unité $\mathrm{Hom}(\mathcal{A}, M_N(K))$ est naturellement muni d'une topologie. Elle est telle que si $g_1, \dots, g_r$ forment un système quelconque de générateurs de $\mathcal{A}$, l'application $R \mapsto (R(g_i))_{i=1..r} \in M_N(K)^r$ est un homéomorphisme de $\mathcal{A}$ sur son image. Pour $R \in \mathrm{Hom}(\mathcal{A}, M_N(K))$ on note $\mathcal{O}(R)$ son image sous l'action par conjugaison de $PGL_N(K)$. On a alors la

Proposition 2. *Si $R \in \mathrm{Hom}(\mathcal{A}, M_N(K))$ est absolument irréductible, alors $P \mapsto P.R$ est un homéomorphisme de $PGL_N(K)$ sur $\mathcal{O}(R)$.*

Démonstration. La bijectivité découle du lemme de Schur. Il s'agit de montrer que la réciproque est continue. D'après le théorème de Burnside $R(\mathcal{A}) = M_N(K)$ donc quitte à quotienter par $\mathrm{Ker}\, R$ on peut supposer R bijective. On note (E_{ij}) pour $1 \leq i, j \leq N$ la famille des matrices élémentaires de $M_N(K)$ et $g_{ij} = R^{-1}(E_{ij})$. On plonge $\mathrm{Hom}(\mathcal{A}, M_N(K))$ dans $M_N^*(K)^{N^2}$ (de façon $PGL_N(K)$-équivariante) suivant ces générateurs, où l'on note $M_N^*(K) = M_N(K) \setminus \{0\}$. Soit $(A^{u,v})$ pour $1 \leq u, v \leq N$ un élément de $M_N^*(K)^{N^2}$ avec $A^{u,v}$ matrice de terme général $(a_{i,j}^{u,v})$. Soit $P \in GL_N(K)$, $Q = P^{-1}$ de terme général $(p_{i,j})$, $(q_{i,j})$. Si, pour tous u, v, on a $PE_{u,v}Q = A^{u,v}$, c'est-à-dire $p_{iu}q_{vj} = a_{ij}^{uv}$ pour tous i, j, u, v, il existe i_0, j_0, u_0, v_0 tels que $\beta = a_{i_0 j_0}^{u_0 v_0} \neq 0$, d'où $p_{i_0 u_0} \neq 0$, $q_{v_0 j_0} \neq 0$. La restriction de l'inverse de $P \mapsto P.R$ à l'ouvert de $\mathcal{O}(R)$ défini par $a_{i_0 j_0}^{u_0 v_0} \neq 0$ est alors donné par la classe dans $PGL_N(K)$ de $(a_{ij_0}^{uv_0})_{i,u}$ puisqu'alors $a_{i,j_0}^{uv_0}/\beta = p_{iu}/p_{i_0 u_0}$, et est donc continue. □

On en déduit immédiatement :

Corollaire. *Si R est une représentation GT-rigide de B_n, $Q_R : GT_1(\Bbbk) \to PGL_N(K)$ est continue.*

3.4. **Trivialité.** Nous donnons une caractérisation des représentations GT-rigides R pour lesquelles Q_R est triviale.

Proposition 3. *Soit ρ une représentation GT-rigide de $\mathfrak{B}_n(\Bbbk)$, $n \geq 3$, $\Phi \in \mathbb{A}\mathrm{ss}_\lambda(\Bbbk)$, $\lambda \neq 0$, $R = \widehat{\Phi}(\rho)$. Les conditions suivantes sont équivalentes*

(i) Q_R est triviale.

(ii) $\rho([t_{12}, t_{23}]) = 0$.

(iii) $R([P_n, P_n]) = \{1\}$.

Si $\Bbbk = \mathbb{Q}_l$, ces conditions sont encore équivalentes à

(iv) $\forall \sigma \in \mathrm{Gal}(\overline{\mathbb{Q}}|\mathbb{Q}(\mu_{l^\infty}))\ \ Q_R(\sigma) = 1$.

Démonstration. L'équivalence $(ii) \Leftrightarrow (iii)$ est démontrée dans [12], lemme 5. $(ii) \Rightarrow (i)$ découle du fait qu'alors $\widehat{\Phi}'(\rho) = \widehat{\Phi}(\rho)$ pour tout $\Phi' \in \mathbb{A}\mathrm{ss}_\lambda(\Bbbk)$, parce que l'image par ρ de $\mathcal{T}_n(\Bbbk)$ est alors commutative. On montre $(i) \Rightarrow (ii)$ à partir du calcul explicite (cf. [12] prop. 3)

$$\widehat{\Phi}_2(\rho)(\sigma_2) - \widehat{\Phi}_1(\rho)(\sigma_2) = \rho(s_2)(\mathfrak{c}(\Phi_1) - \mathfrak{c}(\Phi_2))\rho([t_{23}, [t_{23}, t_{12}]])$$

plus des termes d'ordres supérieurs, pour tous $\Phi_1, \Phi_2 \in \mathbb{A}\mathrm{ss}_\lambda(\Bbbk)$. D'après le lemme 2 on peut en effet supposer $\mathfrak{c}(\Phi) \neq 0$. Alors $\overline{\Phi} \in \mathbb{A}\mathrm{ss}_\lambda(k)$ et $\mathfrak{c}(\overline{\Phi}) = -\mathfrak{c}(\Phi) \neq \mathfrak{c}(\Phi)$. Si Q_R est triviale, $\widehat{\Phi}(\rho)(\sigma_2) = \widehat{\overline{\Phi}}(\rho)(\sigma_2)$. On a alors $\rho([t_{23}, [t_{23}, t_{12}]]) = 0$. Comme la restriction de ρ à $\mathcal{T}_3 = \mathcal{T}_3(\Bbbk)$ est $\mathfrak{S}_3$-équivariante on a aussi $\rho([t_{12}, [t_{12}, t_{23}]]) = 0$. Soit $\mathcal{T}'$ la sous-algèbre de Lie de

$\mathcal{T}_3$ engendrée par t_{12} et t_{23}. On a $\mathcal{T}_3 = \mathcal{T}' \oplus \Bbbk T$ avec $T = t_{12}+t_{13}+t_{23}$, $\Bbbk T = Z(\mathcal{T}_3)$, $\mathcal{T}' \simeq \mathcal{T}_3/Z(\mathcal{T}_3)$. La restriction de ρ à $\mathcal{T}'$ annule ainsi $[\mathcal{T}',[\mathcal{T}',\mathcal{T}']]$, donc se factorise par une algèbre de Lie nilpotente, donc résoluble. La restriction de ρ à $\mathcal{T}_3$, donc à $\mathcal{T}' \simeq \mathcal{T}_3/Z(\mathcal{T}_3)$, est semi-simple (cf. [12] 5.2, lemme 6). On en déduit que la restriction de ρ à $\mathcal{T}'$ est commutative (cf. [1] ch. I §5 no. 3 p. 65, cor. 1 du th. 1), et en particulier $\rho([t_{12},t_{23}]) = 0$. Enfin, si $\Bbbk = \mathbb{Q}_l$ on a naturellement $(i) \Rightarrow (iv)$, et la démonstration de $(iv) \Rightarrow (ii)$ est analogue à celle de $(i) \Rightarrow (ii)$ car pour tout $\Phi \in \mathbb{A}\mathrm{ss}_\lambda(\Bbbk)$ il existe $\sigma \in \mathrm{Gal}(\overline{\mathbb{Q}}|\mathbb{Q}(\mu_{l^\infty}))$ tel que $\mathfrak{c}(\sigma.\Phi) \neq \mathfrak{c}(\Phi)$ d'après le lemme 3 et la proposition 1. □

Lorsque $\Bbbk$ est un corps topologique et la représentation GT-rigide considérée est agrégeante, la représentation projective de $GT_1(\Bbbk)$ se décompose en caractères continus $\chi : GT_1(\Bbbk) \to \Bbbk((h))^\times$ qui ont les propriétés suivantes : a) si L est un surcorps de $\Bbbk$, χ s'étend en $\tilde{\chi} : GT_1(L) \to L((h))^\times$; b) pour toute topologie sur $\Bbbk$ compatible à sa structure de corps, $\tilde{\chi}$ est continue dès que l'inclusion $\Bbbk \subset L$ est continue. Nous aurons besoin du lemme suivant.

Lemme 4. *Soit $\chi : GT_1(\mathbb{Q}) \to \mathbb{Q}((h))^\times$ un caractère vérifiant les conditions a) et b), et g_0 l'unique élément de $GT_1(\mathbb{C})$ tel que $g_0.\Phi_{KZ} = \overline{\Phi}_{KZ}$. Si $\chi(g_0) \neq 1$, alors χ est non triviale.*

Démonstration. Pour tout nombre premier l, on peut choisir un rationnel $\beta_l > 0$ tel que $\sqrt{-\beta_l} \in \mathbb{Q}_l$ (par exemple $\beta_2 = 7$ et $\beta_l = l-1$ si $l \neq 2$). Soit $L = \mathbb{Q}(\sqrt{-\beta_l}) \subset \mathbb{C}$. Pour la topologie naturelle de $\mathbb{C}$, les inclusions $\mathbb{Q} \subset L \subset \mathbb{C}$ sont des inclusions de corps topologiques. Comme $\beta_l > 0$, L est dense dans $\mathbb{C}$ donc $GT_1(L)$ est dense dans $GT_1(\mathbb{C})$ d'après le théorème 1 et il existe donc $g \in GT_1(L)$ tel que $\chi(g') \neq 1$ par continuité. En particulier, pour tout corps L' isomorphe à L il existe $g' \in GT_1(L')$ tel que $\chi(g') \neq 1$. Prenant pour L' l'extension de $\mathbb{Q}$ dans $\mathbb{Q}_l$ engendrée par $\sqrt{-\beta_l}$ on en déduit qu'existe $g' \in GT_1(\mathbb{Q}_l)$ tel que $\chi(g') \neq 1$. Comme $\mathbb{Q}$ est dense dans $\mathbb{Q}_l$ on déduit du théorème 1 qu'existe $g'' \in GT_1(\mathbb{Q})$ tel que $\chi(g'') \neq 1$. □

3.5. **Exemples.** Les exemples les plus simples de représentations GT-rigides et agrégeantes proviennent de l'algèbre d'Iwahori-Hecke de type A, et sont étudiées dans la partie suivante. Dans [3], th. A (voir aussi [2] prop. 16.1.6), Drinfeld montre que toutes les composantes (absolument) irréductibles des représentations de type Yang-Baxter de B_n sont GT-rigides. Enfin, il n'est pas difficile de montrer, en reprenant les arguments de [10] prop. 4, et en utilisant le th. 4 de [10], que les représentations de l'algèbre de Birman-Wenzl-Murakami sont GT-rigides et agrégeantes (voir également [11] th. 2). Nous déterminons en appendice la forme générale d'un élément de $GT_1(\Bbbk)$ modulo des termes d'ordres au moins 6. Chacun de ces éléments est congru à l'un des éléments $g_{a,b}$, définis dans l'appendice, pour $a, b \in \Bbbk$. Cela nous permet de calculer jusqu'en degré 5 les valeurs des caractères associés à une telle représentation, si l'on sait décrire une représentation infinitésimale correspondante. Comme exemple, nous considérons la représentation irréductible de dimension 3 la plus générale de $\mathfrak{B}_3(\Bbbk)$, définie par $s_1 = \mathrm{diag}(1,1,-1)$,

$t_{12} = \mathrm{diag}(\frac{3+v}{2}, \frac{3-v}{2}, 0)$ et

$$s_2 = \frac{1}{4v} \begin{pmatrix} v-3 & 3(v-1) & 3(v+1) \\ 3(v+1) & 3+v & -3(v+1) \\ 2v & 2v\frac{1-v}{1+v} & 2v \end{pmatrix}$$

On a $t_{13} + t_{23} = \mathrm{diag}(\frac{3-v}{2}, \frac{3+v}{2}, 3)$, donc cette représentation irréductible est agrégeante si $v \notin \{-3, 0, 3\}$. Elle est également GT-rigide, car elle correspond à une représentation de l'algèbre de Birman-Wenzl-Murakami, ou encore à une représentation de l'algèbre de Hecke cyclotomique du groupe de réflexions complexes G_4 (cf. [12]). Soit $\Phi_0 \in \mathbb{A}\mathrm{ss}_1$ et $R = \widehat{\Phi}(\rho)$. On en déduit deux caractères $Q_{R,2}$ et $Q_{R,3}$ tels que

$$Q_{R,2}(g_{a,b}) = 1 - \frac{1}{8} av(v^2-9)h^3 - \frac{9}{64} v(v^2-9)(v^2+7)bh^5 + \dots$$

et $Q_{R,3}(g_{a,b})$ vaut

$$1 + \frac{1}{16} a(v+9)(v^2-9)h^3 + \frac{9}{128}(v+5)(v^2-9)(v^2-4v+27)b(v^2+7)h^5 + \dots$$

4. Algèbre de Hecke et caractères de $GT_1(\mathbb{k})$

4.1. **Algèbre d'Iwahori-Hecke de type A.** Soit $q \in K^\times$ un scalaire non nul. L'algèbre d'Iwahori-Hecke de type A est notée $H_n(q)$. C'est le quotient de KB_n par la relation $(\sigma_1 - q)(\sigma_1 + q^{-1}) = 0$. On a $H_n(1) = K\mathfrak{S}_n$, et $H_n(q)$ est isomorphe à $K\mathfrak{S}_n$ pour q non racine de l'unité. A toute partition α de n on associe classiquement, de façon uniforme en q, une classe d'isomorphisme de représentations de $H_n(q)$, de sorte que la partition $[n]$ corresponde à la représentation $\sigma_r \mapsto q \in GL_1(K)$ de B_n.

Nos conventions sur les diagrammes de Young sont telles que la partition $[3, 2]$ est représenté par le diagramme à deux colonnes $\begin{smallmatrix}\square & \\ \square & \square \\ \square & \square\end{smallmatrix}$. Dans le tableau de Young standard $\begin{smallmatrix}2 & \\ 1 & 3\end{smallmatrix}$ la case contenant un 2 est en colonne 1 et ligne 2. A tout tableau de Young standard T de taille n est associé un $(n-1)$-uplet appelé son contenu, défini comme $(l_i(T) - c_i(T))_{i=2..n}$ où $l_i(T)$ (resp. $c_i(T)$) désigne la ligne (resp. la colonne) où se trouve i. Cette correspondance est injective, et identifie les tableaux standard de taille n à certains éléments de $\mathbb{Z}^{n-1}$. On munit $\mathbb{Z}^{n-1}$ de l'ordre inverse de l'ordre lexicographique, et l'ensemble des tableaux standard de même taille de l'ordre induit.

On décrit maintenant des expressions matricielles de ces représentations. Soit α une partition de n ; on introduit le K-espace vectoriel de base les tableaux de Young standard de forme α. Pour $r \in [1, n-1]$ on fait agir $\sigma_r \in B_n$ sur un tableau standard T comme suit. Si r et $r+1$ se trouvent sur la même colonne (resp. ligne) de T, $\sigma_r.T = qT$ (resp. $\sigma_r.T = -q^{-1}T$). Sinon, soit T' le tableau (standard) déduit de T par transposition de r et $r+1$ dans T. Quitte à échanger les rôles de T et T', on peut supposer que la colonne de T où se trouve r précède celle où se trouve $r+1$, ce qui revient à demander $T < T'$. On note d la *distance axiale* entre r et $r+1$ dans T. Si r (resp. $r+1$) se trouve dans T en colonne c (resp. c') et ligne l (resp. l'), elle est définie par $d = l - l' + c' - c$, et est donc nécessairement positive. On demande que l'action de σ_r laisse le plan engendré par T et T' stable, et que sa restriction soit donnée sur la base (T, T') par une matrice M_d^q ne dépendant que de d et

q. On appelle *modèle matriciel* de $H_n(q)$ toute collection $(M_d^q)_{d\geq 2}$ telle que la construction précédente fournisse une représentation de $H_n(q)$ de classe correspondant à la partition α, pour toute partition α et tout $n \geq 2$, ceci pour presque tout q. Il est immédiat que chaque M_d^q doit avoir pour trace $q - q^{-1}$ et déterminant -1, et donc être de la forme

$$\begin{pmatrix} a_d & b_d \\ \frac{1+a_d a'_d}{b_d} & a'_d \end{pmatrix}$$

avec $a_d \in K$, $b_d \in K^\times$, $a'_d = q - q^{-1} - a_d$, et $1 + a_d a'_d \neq 0$ pour q générique. On vérifie facilement que toute collection $(M_d^q)_{d\geq 2}$ définie par de tels coefficients a_d, b_d, définit bien un modèle matriciel si et seulement si $a_{d+1}(q - a_d) = a_d q^{-1}$ pour tout $d \geq 2$ avec $a_2 = -1/q(q^2+1)$. On en déduit les formules générales $a_d = (1-q^2)/q(q^{2d}-1)$, $a'_d = q^{2d-1}(q^2-1)/(q^{2d}-1)$. Un modèle est donc arbitrairement déterminé par le choix d'une suite $(b_d)_{d\geq 2}$ d'éléments de $K^\times$. Quel que soit le choix de ces scalaires, chaque tableau standard est un vecteur propre commun des $\delta_r, r \in [2, n]$. Si le contenu de T est $(c_2, \dots, c_n)$, $\delta_r.T = q^{2c_r} T$.

De façon analogue, on appelle *modèle matriciel* du groupe symétrique une suite $(M_d)_{d\geq 2}$ avec $M_d \in GL_2(\Bbbk)$ telle que la construction précédente donne, pour $q = 1$, les représentations du groupe symétrique. Deux d'entre eux nous seront utiles, le modèle semi-normal et le modèle orthonormal de Young, respectivement donnés par

$$\frac{1}{d}\begin{pmatrix} -1 & d+1 \\ d-1 & 1 \end{pmatrix} \quad \text{et} \quad \frac{1}{d}\begin{pmatrix} -1 & \sqrt{d^2-1} \\ \sqrt{d^2-1} & 1 \end{pmatrix}$$

4.2. **Représentations infinitésimales.** Soit $\rho_0 : \mathfrak{S}_n \to GL_N(\Bbbk)$ une représentation du groupe symétrique. Elle s'étend en une représentation ρ de $\mathfrak{B}_n(\Bbbk)$ par la formule $\rho(t_{ij}) = 2\rho((i\ j))$. Pour tout $\Phi \in \mathbb{A}\mathrm{ss}_1(\Bbbk)$, $\widehat{\Phi}(\rho)(\sigma_1) = \rho(s_1)\exp(h\rho(s_1))$ est semi-simple à valeurs propres $q = e^h$ et $-q^{-1}$, donc $\widehat{\Phi}(\rho)$ se factorise par $H_n(q)$ pour $q = e^h$. Si ρ_0 est absolument irréductible il en est de même de ρ et de $\widehat{\Phi}(\rho)$. De plus, ρ est alors agrégeante et $\widehat{\Phi}(\rho)$ permet de définir des caractères de $GT_1(\Bbbk)$.

Fixons un modèle matriciel $(M_d^1)_{d\geq 2}$ du groupe symétrique, et étendons l'action de $\mathfrak{S}_n$ sur les tableaux standard en une action de $\mathfrak{B}_n$ suivant la formule précédente. Si T est un tableau standard de contenu $(c_2, \dots, c_n)$ on a $Y_r.T = 2c_r T$ pour tout $r \in [2, n]$. En particulier, si T est un tableau standard contenant r et $r+1$ dans la même colonne (resp. la même ligne), la droite engendrée par T est stable par Y_r et $t_{r,r+1}$. On fixe désormais $\Phi \in \mathbb{A}\mathrm{ss}_1(\Bbbk)$ et on fait agir (K-linéairement) B_n sur les tableaux standard selon $\widehat{\Phi}(\rho)$. Comme Φ est l'exponentielle d'une série de Lie Ψ sans terme linéaire, $\Phi(Y_r, t_{r,r+1})$ laisse alors T invariant donc $\sigma_r.T = s_r \exp(hs_r).T$ vaut qT (resp. $-q^{-1}T$). Dans le cas contraire, soit T' le tableau standard déduit de T par transposition de r et $r+1$, notons $(c'_2, \dots, c'_n)$ son contenu et supposons $T < T'$. Le plan engendré par T et T' est stable par s_r, Y_r et Y_{r+1}, donc par σ_r. L'expression de $s_r \exp(hs_r)$ dans la base (T, T') vaut $M_d^1 \exp(hM_d^1)$, avec d la distance axiale associée au couple (T, T'). D'autre part, $Y_r + Y_{r+1}$ commute à Y_r et $t_{r,r+1}$, et $Y_r = (Y_r + Y_{r+1})/2 + (Y_r - Y_{r+1})/2$, donc $\Phi(Y_r, t_{r,r+1}) = \Phi((Y_r - Y_{r+1})/2, t_{r,r+1})$ car $\Phi = \exp \Psi$ avec $\Psi \in \mathcal{L}(\Bbbk)$

sans terme linéaire. Comme $t_{r,r+1}$ agit par $2M_d^1$ et $(Y_r - Y_{r+1})/2$ par la matrice diagonale η_d de coefficients $(c_r - c'_r, c_{r+1} - c'_{r+1}) = (d, -d)$, l'expression de σ_r dans la base (T, T') ne dépend que de d et q, et fournit ainsi un modèle matriciel $(M_d^q)_{d\geq 2}$ de $H_n(q)$, tel que $M_d^q \equiv M_d^1$ modulo h. En particulier, à tout $\Phi \in \mathbb{A}\mathrm{ss}_1(\Bbbk)$ est ainsi attaché un modèle $(M_d^q(\Phi))_{d\geq 2}$ et une suite de scalaires $b_d(\Phi) \in K^\times$, $d \geq 2$. On remarque que, comme $(M_d^1)^2 = 1$, pour tout $\Phi \in \mathbb{A}\mathrm{ss}_1(\Bbbk)$, on a $2M_d^q(\Phi) = (q - q^{-1}) + (q + q^{-1})QM_d^1Q^{-1}$ avec $Q = \Phi(2hM_d^1, h\eta_d)$. Comme nous n'utiliserons que deux modèles du groupe symétrique, nous noterons $b_d^s(\Phi)$ et $b_d^o(\Phi)$ les scalaires $b_d(\Phi)$ correspondant respectivement aux modèles semi-normal et orthogonal. Comme ces deux modèles sont conjugués par la matrice diagonale de coefficients $(\sqrt{d+1}, \sqrt{d-1})$, on en déduit que ces deux nombres sont liés par la relation $b_d^s(\Phi)\sqrt{d-1} = b_d^o(\Phi)\sqrt{d+1}$. Un calcul explicite montre d'autre part aisément que

$$\frac{d}{d+1} b_d^s(\Phi) = 1 + \frac{h^2}{6} + 16\mathfrak{c}(\Phi)dh^3 + o(h^3).$$

4.3. **L'associateur KZ.** Dans sa thèse [4], Jorge González-Lorca a calculé $M_d^q(\Phi_{KZ})$, donc $b_d(\Phi_{KZ})$. Pour la commodité du lecteur mais aussi parce que nous aurons également besoin de connaître $b_d(\overline{\Phi}_{KZ})$, nous reprenons ici les dernières étapes de ce calcul. On a ici $\Bbbk = \mathbb{C}$, $A = \mathbb{C}[[h]]$, $K = \mathbb{C}((h))$. On note $\hbar = h/(2\mathrm{i}\pi)$ et l'on suppose M_d^1 donné par le modèle semi-normal. On introduit la fonction de trois variables complexes

$$\Gamma_3(a, b, c) = \frac{\Gamma(1 - 2a)\Gamma(1 + 2b)}{\Gamma(1 + b - a + \delta)\Gamma(1 + b - a - \delta)}$$

où δ désigne une racine carrée de $a^2 + b^2 + 2c$ et Γ est la fonction Gamma d'Euler. Comme $\Gamma(1 + z)$ est analytique au voisinage de 0, on peut définir $\Gamma_3(\alpha, \beta, \gamma) \in K$ pour $\alpha, \beta, \gamma \in hA$ et $F(a, b) = \Gamma_3(\hbar a, \hbar b, -2\hbar^2) \in K$ pour $a, b \in \Bbbk$. Pour tout $X \in M_N(\Bbbk)$ semi-simple et $x \in Sp(X)$ on note $P_{x,X} \in M_N(\Bbbk) \subset M_N(K)$ le projecteur sur l'espace propre $\mathrm{Ker}(X - x)$ naturellement associé et on définit $F(U, V)$, pour $U, V \in M_N(\Bbbk)$ semi-simples, comme la somme des termes $F(u, v)P_{u,U}P_{v,V}$ sur tous les couples $(u, v) \in Sp(U) \times Sp(V)$. Pour traiter simultanément les cas de Φ_{KZ} et $\overline{\Phi}_{KZ}$, on introduit un paramètre $\epsilon = \pm 1$ et l'on pose $F_\epsilon(a, b) = F(\epsilon a, \epsilon b)$.

Pour alléger les notations, notons $U = \eta_d$, $V = 2M_d^1$ et $S = M_d^1$. En utilisant le fait que $UV + VU = -4$ et les méthodes de Riemann et Kummer sur l'équation hypergéométrique, J. González-Lorca montre dans [4] que $\Phi_{KZ}(\tilde{U}, \tilde{V}) = F_\epsilon(V, U)$, $\Phi_{KZ}(\tilde{V}, \tilde{U}) = F_\epsilon(U, V)$, où l'on note $\tilde{U} = \epsilon hU$, $\tilde{V} = \epsilon hV$. On en déduit $M_d^q(\Phi)$ pour $\Phi = \Phi_{KZ}$ (si $\epsilon = 1$) et $\Phi = \overline{\Phi}_{KZ}$ (si $\epsilon = -1$) comme suit. Soit $P_\pm = P_{\pm 1,S} = P_{\pm 2,V}$. On a

$$\begin{array}{rcl} F_\epsilon(U, V) & = & F_\epsilon(U, 2)P_+ + F_\epsilon(U, -2)P_- \\ F_\epsilon(V, U) & = & P_+F_\epsilon(2, U) + P_-F_\epsilon(-2, U) \end{array}$$

donc $\Phi_{KZ}(\tilde{V}, \tilde{U})S\Phi_{KZ}(\tilde{U}, \tilde{V})$ est égal à la différence

$$(F_\epsilon(U, 2)P_+F_\epsilon(2, U)) - (F_\epsilon(U, -2)P_-F_\epsilon(-2, U))$$

et ainsi son coefficient en première ligne et deuxième colonne vaut

$$\frac{d+1}{2d}\left[F_\epsilon(d,2)F_\epsilon(2,-d)+F_\epsilon(d,-2)F_\epsilon(-2,-d)\right].$$

On en déduit

$$\begin{array}{rcl} b_d^s(\Phi_{KZ}) & = & \frac{d+1}{2d}\frac{q+q^{-1}}{2}(Z(d,2)+Z(d,-2)) \\ b_d^s(\overline{\Phi}_{KZ}) & = & \frac{d+1}{2d}\frac{q+q^{-1}}{2}(Z(-d,-2)+Z(-d,2)) \end{array}$$

avec $Z(a,b)=F(a,b)F(b,-a)$, donc $b_d^s(\Phi_{KZ})/b_d^s(\overline{\Phi}_{KZ})$ vaut $\tilde{J}(d+1)\tilde{J}(d-1)/\tilde{J}(d)^2$ avec $\tilde{J}(x)=J(2\hbar x)$ et

$$J(x)=\frac{\Gamma(1+x)}{\Gamma(1-x)}=\exp\left(-2\gamma x-2\sum_{n=1}^{\infty}\frac{\zeta(2n+1)}{2n+1}x^{2n+1}\right)$$

où γ est la constante d'Euler. Ainsi,

$$(*)\quad \frac{b_d^s(\Phi_{KZ})}{b_d^s(\overline{\Phi}_{KZ})}=\exp\left(-2\sum_{n=1}^{\infty}\frac{\zeta(2n+1)}{2n+1}2^{2n+1}\hbar^{2n+1}Q_n(d)\right)$$

avec $Q_n(d)=(d+1)^{2n+1}+(d-1)^{2n+1}-2d^{2n+1}$.

4.4. **Associateurs pairs.** Soit $\Phi\in\mathbb{A}\mathrm{ss}_1^0(\Bbbk)$, et choisissons pour M_d^1 le modèle orthonormal de Young, de telle sorte que M_d^1 est simultanément orthogonale et symétrique pour tout $d\geq 2$. On en déduit que $M_d^1\exp(hM_d^1)$ est également symétrique. Soit Ψ la série de Lie sans terme linéaire telle que $\Phi=\exp\Psi$. Comme η_d est symétrique et $x\mapsto -{}^tx$ est un automorphisme de l'algèbre de Lie $\mathfrak{gl}_N(K)$, la transposée de $\Psi(h\eta_d,hM_d^1)$ vaut $-\Psi(-h\eta_d,-hM_d^1)$. On en déduit

$${}^t\Phi(h\eta_d,hM_d^1)=\Phi(-h\eta_d,-hM_d^1)^{-1}=\Phi(h\eta_d,hM_d^1)^{-1}$$

et qu'ainsi $M_d^q(\Phi)$ est symétrique. On a donc $b_d^o(\Phi)^2=1+a_da'_d$. Comme $1+a_da'_d$ est congru à $(d^2-1)/d\neq 0$ modulo h, il existe un unique $b_d^0(\Phi)\in A$ vérifiant cette équation qui soit de plus congru à $\sqrt{d^2-1}/d$ modulo h. Avec les notations des q-analogues $[n]_q=(q^n-q^{-n})/(q-q^{-1})$, on trouve $b_d^o(\Phi)=\sqrt{[d+1]_q[d-1]_q}/[d]_q$ d'où

$$b_d^s(\Phi)=\frac{\sqrt{d+1}\sqrt{[d+1]_q[d-1]_q}}{\sqrt{d-1}[d]_q}=\frac{d+1}{d}\left(1+\frac{h^2}{3!}-\frac{4d^2-1}{5!}h^4+\dots\right)$$

Remarquons qu'avec ces notations, $a_d=-q^{-d}/[d]_q$, $a'_d=q^d/[d]_q$. Comme $\Bbbk\subset\mathbb{R}$ on note comme conséquence immédiate de ces calculs

Proposition 4. *Un modèle matriciel de $H_n(q)$ unitaire au sens de* [12] *est donné par*

$$M_d^q(\Phi)=\frac{1}{[d]_q}\begin{pmatrix} -q^{-d} & \sqrt{[d+1]_q[d-1]_q} \\ \sqrt{[d+1]_q[d-1]_q} & q^d \end{pmatrix}$$

Afin de comparer $b_d^s(\Phi)$ et $b_d^s(\Phi_{KZ})$, on introduit les fonctions

$$I(z)=\Gamma(1+z)\Gamma(1-z)=\frac{\pi z}{\sin(\pi z)}\qquad \tilde{I}(z)=I(2z\hbar).$$

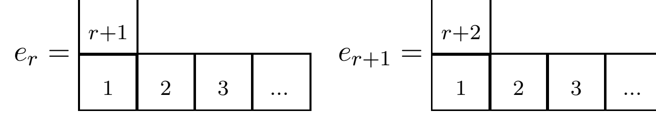


FIG. 1 – Base de la représentation de Burau

Comme $(q^n - q^{-n})/2 = \mathrm{i}\sin(2n\pi\hbar) = nh/\tilde{I}(n)$, on a

$$b^s_d(\Phi) = \frac{d+1}{d}\frac{\tilde{I}(d)}{\sqrt{\tilde{I}(d+1)\tilde{I}(d-1)}}$$

d'où, en utilisant $(q+q^{-1})\tilde{I}(2)/2\tilde{I}(1) = 1$ et l'expression de $\Gamma(1 \pm x)$ en fonction de I et J, on obtient

$$\frac{b^s_d(\Phi_{KZ})}{b^s_d(\Phi)} = \tilde{H}(d) \text{ et } \frac{b^s_d(\overline{\Phi}_{KZ})}{b^s_d(\Phi)} = \frac{1}{\tilde{H}(d)}$$

avec

$$\tilde{H}(d) = \frac{\sqrt{\tilde{J}(d-1)\tilde{J}(d+1)}}{\tilde{J}(d)} = \exp\left(-2\sum_{n=1}^{\infty}\frac{\zeta(2n+1)}{2n+1}2^{2n+1}\hbar^{2n+1}Q_n(d)\right)$$

et $Q_n(d) = (d+1)^{2n+1} + (d-1)^{2n+1} - 2d^{2n+1}$.

Les formules obtenues nous disent en particulier que le logarithme de $b^s_d(\Phi_{KZ})/b^s_d(\Phi)$ admet pour développent limité

$$\frac{-2\mathrm{i}\zeta(3)d}{\pi^3}h^3 + \frac{2\mathrm{i}d(2d^2+1)\zeta(5)}{\pi^5}h^5 - \frac{2\mathrm{i}d(1+3d^4+5d^2)\zeta(7)}{\pi^7}h^7 + o(h^8)$$

4.5. **Caractères.** Choisissons un modèle matriciel de $H_n(q)$ associé à une suite $(b_d)_{d\geq 2} = (b_d(\Phi))_{d\geq 2}$ pour un certain $\Phi \in \mathbb{A}\mathrm{ss}_\lambda(\Bbbk)$. Pour toute partition α de n, la représentation irréductible R associée sur les tableaux standard de forme α est GT-rigide et $R(\delta_2), \dots, R(\delta_n)$ engendre les matrices diagonales, comme on le déduit immédiatement de l'expression de δ_r pour $2 \leq r \leq n$ et de l'invariance de σ_1 sous l'action de $GT_1(\Bbbk)$. En particulier, prenons pour R la représentation correspondant à la partition $[2, 1^{n-2}]$ – c'est la représentation de Burau (réduite). On note $e_1, \dots, e_{n-1}$ sa base suivant l'ordre défini sur les tableaux standard, et $\chi_d = Q_{R,d}$ pour $2 \leq d \leq n-1$. Pour tout $g \in GT_1(\Bbbk)$, on prend pour représentant de $Q_R(g)$ dans $GL_N(K)$ la matrice diagonale de coefficients $(1, \chi_2(g), \chi_2\chi_3(g), \dots)$. Notant par abus σ'_r (resp. σ_r) l'action de $\sigma_r \in B_n$ suivant $g.R$ (resp. R) on a, sur le plan (e_r, e_{r+1}),

$$\begin{pmatrix} * & b'_{r+1} \\ * & * \end{pmatrix} = \sigma'_{r+1} = \begin{pmatrix} \chi(g) & 0 \\ 0 & \chi'(g) \end{pmatrix}^{-1}\begin{pmatrix} * & b_{r+1} \\ * & * \end{pmatrix}\begin{pmatrix} \chi(g) & 0 \\ 0 & \chi'(g) \end{pmatrix}$$

avec $\chi = \chi_2 \dots \chi_r$ et $\chi' = \chi_2 \dots \chi_{r+1}$, d'où $b'_{r+1} = b_{r+1}\chi_{r+1}(g)$. Comme démontré en 3.2.3, les χ_r sont à valeurs dans $A^\times = \Bbbk[[h]]^\times$. Supposons maintenant $\Phi \in \mathbb{A}\mathrm{ss}_1(\Bbbk)$ et $b_d = b^s_d(\Phi)$. Si $\Phi' = g.\Phi$ on a alors $b^s_d(\Phi') = b^s_d(\Phi)\chi_d(g)$. En particulier, si $g \in GT_1(\mathbb{C})$ est tel que $\overline{\Phi}_{KZ} = g.\Phi_{KZ}$, $\chi_d(g)^{-1}$ est donné par la formule $(*)$. Comme, à $d \geq 2$ fixé, $Q_n(d) \sim 2n(2n+1)d^{2n-1}$

pour n grand, les fonctions de n définies sont linéairement indépendantes et on déduit immédiatement du lemme 4 :

Proposition 5. *Les caractères $\chi_d : GT_1(\mathbb{Q}) \to (\mathbb{Q}[[h]])^\times$ pour $d \geq 2$ sont algébriquement indépendants sur $\mathbb{Q}$ en tant que fonctions $GT_1(\mathbb{Q}) \to \mathbb{Q}[[h]]$.*

Pour conclure la démonstration du théorème C, soit α une partition quelconque de n, R la représentation de $H_n(q)$ correspondante suivant le modèle associé à $b_d^s(\Phi)$ et N sa dimension. Si T est un tableau standard de taille n, et $i < j$ avec $c_i(T) > c_j(T)$, on note $d_T(i,j) = l_j(T) - l_i(T) + c_i(T) - c_j(T) > 0$. Un représentant dans $GL_N(K)$ de $Q_R(g)$ pour $g \in GT_1(\mathbb{k})$ est alors donné par la matrice diagonale qui à T de forme α associe $\chi_T(g)T$ avec

$$\chi_T(g) = \prod_{\substack{i<j \\ c_i(T)>c_j(T)}} \chi_{d_T(i,j)}(g).$$

En effet, il suffit de montrer que cette matrice conjugue les représentations associées à $b_d^s(\Phi)$ et $b_d^s(\Phi')$, c'est-à-dire les expressions de σ_r pour $1 \leq r \leq n-1$ suivant ces deux représentations. Fixant un tel r, il suffit de le montrer sur les plans (T_1, T_2) où T_2 est déduit de T_1 par l'échange de r et $r+1$. Or, si $T_1 < T_2$ et en notant d la distance axiale associée, on a $d = d_{T_2}(r, r+1)$ et $\chi_{T_2}(g) = \chi_{T_1}(g)\chi_d(g)$, donc $M_d^q(\Phi)$ est conjuguée par la matrice diagonale de coefficients $(1, \chi_d(g))$, ce qui donne bien $M_d^q(\Phi')$.

La relation entre les caractères issus de deux diagrammes symétriques l'un de l'autre est la suivante. Soit T un tableau de forme α, T' son symétrique de forme α'. Pour $d < 0$, notons par convention $\chi_d = 1$. Alors

$$\chi_T \chi_{T'} = \prod_{\substack{i<j \\ c_i(T)>c_j(T)}} \chi_{d_T(i,j)} \prod_{\substack{i<j \\ l_i(T)>l_j(T)}} \chi_{d_T(j,i)}$$

est encore égal au produit des $\chi_{d_T(i,j)}\chi_{d_T(j,i)}$ sur tous les couples $i < j$ tels que $c_i(T) > c_j(T)$ ou (exclusif) $l_i(T) > l_j(T)$. De tels couples sont en bijection avec les crochets du diagramme α, c'est-à-dire les couples (x, y) de cases de α où x (resp. y) est en colonne c (resp. c') et ligne l (resp. l') avec $c < c'$ et $l > l'$: à (x, y) on associe le couple (i, j) où i (resp. j) est le minimum (resp. le maximum) de leurs contenus dans T ; inversement, la condition sur i et j signifie que les deux cases qui les contiennent forment un crochet. Pour un tel crochet (x, y) on définit sa longueur $\delta = \delta(x, y) = c' - c + l - l'$. Alors

$$\chi_{d_T(i,j)}\chi_{d_T(j,i)} = \chi_\delta \chi_{-\delta} = \chi_\delta$$

et

$$\chi_T \chi_{T'} = \prod_{\text{crochets } (x,y)} \chi_{\delta(x,y)}$$

dépend seulement de α, et plus de T.

Soit ε l'automorphisme involutif de K défini par $f(h) \mapsto f(-h)$ et $U_N^\varepsilon(K) = \{x \in GL_N(K) \mid x^{-1} = {}^t\varepsilon(x)\}$ le groupe unitaire associé. Si l'on part d'une représentation orthogonale $\rho_0 : \mathfrak{S}_n \to O_N(\mathbb{k})$, les représentations $\widehat{\Phi}(\rho)$ de l'algèbre de Hecke obtenues se factorisent par $U_N^\varepsilon(K)$ (cf. [12] section 3.2.2). On en déduit que les caractères χ_d se factorisent par $U_1^\varepsilon(A) = \{x \in A \mid \varepsilon(x) = x^{-1}\}$, et que les $\chi_d(g)$ sont des exponentielles de séries *impaires* en h (sans terme linéaire d'après le calcul de $b_d^s(\Phi)$ à l'ordre 3 en 4.2).

4.6. **Résonances.** Remarquons que si une partition de n est donnée, les caractères χ_T pour R parcourant les tableaux standard de forme α ne sont pas nécessairement distincts, comme le montre l'exemple de $\alpha = [3,2]$: un représentant de $Q_R(g)$ dans $GL_5(K)$ est alors donné par la matrice diagonale de coefficients $(1, \chi_3(g), \chi_2\chi_3(g), \chi_2\chi_3(g), \chi_2^2\chi_3(g))$.

Proposition 6. *La représentation de $H_n(q)$ associée à un diagramme α est sans résonances si et seulement si α est une équerre ou égal à $[2,2]$.*

Démonstration. Soit R la représentation de Burau (réduite), et $e_1, \dots, e_{n-1}$ la base choisie précédemment. Comme les diagrammes en équerres correspondent aux puissances extérieures de R, il faut montrer que $\Lambda^r R$ est sans résonances pour $r \in [0, n-1]$. Fixons r et associons à toute partie $I = \{i_1, \dots, i_r\} \subset [1, n-1]$ de cardinal r avec $i_1 < \dots < i_r$ le vecteur $e_I = e_{i_1} \wedge \dots \wedge e_{i_r}$. L'ensemble des vecteurs de ce type forme une base de $\Lambda^r R$. Un relèvement linéaire de Q_R est donné par l'action linéaire $g.e_i = \psi_i(g)e_i$, avec $\psi_1 = 1$, $\psi_2 = \chi_2$, ..., $\psi_{n-1} = \chi_2 \dots \chi_{n-1}$. Un relèvement dans $GL(\Lambda^r R)$ de l'action projective de $GT_1(\Bbbk)$ sur $\Lambda^r R$ est donc donné par $g \mapsto Q(g)$ avec

$$Q(g)e_I = \left(\prod_{i \in I} \psi_i\right)(g)\, e_I = \left(\prod_{d=2}^{n-1} \chi_d^{f_d(I)}\right)(g)\, e_I$$

où $f_d(I) = \#\{i \in I \mid i \geq d\}$. Comme les χ_d sont algébriquement indépendants, il s'agit donc de montrer que, si $f_d(I) = f_d(J)$ pour $d \in [2, n-1]$, alors $I = J$, au moins si $\#I = \#J = r$. Mais dans ce cas, on a également $\#I = f_1(I) = f_1(J) = \#J$, d'où l'on déduit immédiatement $I = J$, puisque $i \in I \Leftrightarrow f_i(d) > f_{i-1}(d)$.

Le cas du diagramme $[2,2]$ se ramène à celui de l'équerre $[2,1]$, puisque ce deuxième est la restriction à $B_3 \subset B_4$ du premier.

D'après la relation entre χ_T et $\chi_{T'}$ pour deux tableaux T et T' symétriques l'un de l'autre, la représentation associée à α sera sans résonances si et seulement si celle associée à α' l'est. Il reste donc à montrer que, si $\alpha \geq [3,2]$, il existe deux tableaux distincts T_1 et T_2 de forme α tel que $\chi_{T_1} = \chi_{T_2}$. Considérons les deux tableaux de la figure 2 : on remplit d'abord les cases du sous-diagramme $[3,2]$ comme indiqué avec les nombres de 1 à 5, puis l'on remplit les autres cases dans l'ordre standard avec les nombres restant. On a alors

$$\begin{aligned} \chi_{T_1} &= (\chi_3 \dots \chi_{n_1-1})(\chi_2 \dots \chi_{n_1-3}) &= \chi_2\chi_3^2 \dots \chi_{n_1-3}^2\chi_{n_1-2} \\ &= (\chi_2 \dots \chi_{n_1-2})(\chi_3 \dots \chi_{n_1-3}) &= \chi_{T_2} \end{aligned}$$

□

5. Appendice : Cocycles de $GT_1(\Bbbk)$

On fait agir $\alpha \in \mathbb{G}_m(\Bbbk) = \Bbbk^\times$ sur $f(h) \in K = \Bbbk((h))$ par $(f.\alpha)(h) = f(\alpha h)$. Cette action laisse stable l'anneau de valuation discrète $A = \Bbbk[[h]]$, son idéal maximal $A_0 = hA$ et $A_1 = 1 + hA = \exp A_0$. Le morphisme naturel $\pi : GT_1(\Bbbk) \to \Bbbk^\times$ de noyau $GT_1(\Bbbk)$ induit ainsi une action de $GT(\Bbbk)$ sur K, et donc sur $PGL_N(K)$. De manière à obtenir, non plus seulement des représentations projectives de $GT_1(\Bbbk)$ mais des 1-cocycles (a priori non abéliens) de $GT(\Bbbk)$ à valeurs dans $PGL_N(K)$, on peut renforcer la définition 3.1 comme suit :

$T_1 =$

n_1			
$\vdots$	n_2		
6	$\vdots$		
5	$1+n_1$	n_3	
2	4	$\vdots$	
1	3	$1+n_2$	...

$T_2 =$

n_1			
$\vdots$	n_2		
6	$\vdots$		
4	$1+n_1$	n_3	
3	5	$\vdots$	
1	2	$1+n_2$	...

FIG. 2 – Tableaux tels que $\chi_{T_1} = \chi_{T_2}$

Définition 2. *Une représentation $R \in V_N(\Bbbk)$ est dite* fortement *GT-rigide si R est absolument irréductible et, pour tout $g \in GT(\Bbbk)$, $g.R$ est isomorphe à $\sigma \mapsto R(\sigma).\pi(g)$.*

Si $R \in V_N(\Bbbk)$ est fortement GT-rigide, R est en particulier GT-rigide. De plus il existe alors, pour tout $g \in GT(\Bbbk)$, un élément $Q_R(g) \in PGL_N(K)$ tel que

$$\forall \sigma \in B_n \quad (g.R)(\sigma) = Q_R(g)^{-1}\left(R(\sigma).\pi(g)\right)Q_R(g).$$

On vérifie facilement que $Q_R(g_1g_2) = (Q_R(g_1).\pi(g_2))Q_R(g_2)$, c'est-à-dire que $Q_R \in Z^1(GT(\Bbbk), PGL_N(K))$. Si de plus R est agrégeante, on en déduit des cocycles $\chi \in Z^1(GT(\Bbbk), A_1)$ ainsi que des cocycles

$$\psi = \log \chi \in Z^1(GT(\Bbbk), A_0).$$

Ces cocycles permettent enfin de définir des représentations $GT(\Bbbk) \to GL_2(A)$ par

$$g \mapsto \begin{pmatrix} \pi(g) & \psi(g) \\ 0 & 1 \end{pmatrix}$$

Parmi les représentations $R \in V_N(\Bbbk)$ qui sont fortement GT-rigides, on trouve notamment les représentations irréductibles de l'algèbre d'Iwahori-Hecke de type A et celles de l'algèbre de Birman-Wenzl-Murakami.

Si la restriction de χ à $GT_1(\Bbbk)$ est non triviale (cf. prop. 3), χ n'est pas un cobord et la représentation de $GT(\Bbbk)$ dans $GL_2(A)$ qui s'en déduit n'est pas scindée. De façon générale, on montre inversement que les éléments non nuls de $H^1(GT(\Bbbk), A_1)$ proviennent nécessairement de caractères non triviaux de $GT_1(\Bbbk)$.

Proposition 7. *Le morphisme de restriction $H^1(GT(\Bbbk), A_1) \to \mathrm{Hom}(GT_1(\Bbbk), A_1)$ est injectif.*

En effet, la suite exacte d'inflation-restriction en cohomologie des groupes associée à la suite exacte $1 \to GT_1(\Bbbk) \to GT(\Bbbk) \to \Bbbk^\times \to 1$ est

$$0 \to H^1(\Bbbk^\times, A_1) \to H^1(GT(\Bbbk), A_1) \to H^1(GT_1(\Bbbk), A_1)$$

avec $H^1(GT_1(\Bbbk), A_1) = \mathrm{Hom}(GT_1(\Bbbk), A_1)$. Il suffit donc de montrer que $H^1(\Bbbk^\times, A_1) = 0$. Pour ce faire notons, pour $m \geq 0$, $\Bbbk_m$ le $\Bbbk^\times$-module $\Bbbk$ pour l'action $(\alpha, x) \mapsto \alpha^m x$.

w_3	$=$	$[x,y]$	w_4	$=$	$[x,[x,y]]$	w_5	$=$	$[y,[y,x]]$
w_6	$=$	$[x,[x,[x,y]]]$	w_7	$=$	$[y,[x,[x,y]]]$	w_8	$=$	$[y,[y,[x,y]]]$
w_9	$=$	$[x,[x,[x,[x,y]]]]$	w_{10}	$=$	$[y,[x,[x,[x,y]]]]$	w_{11}	$=$	$[y,[y,[x,[x,y]]]]$
w_{12}	$=$	$[y,[y,[y,[x,y]]]]$	w_{13}	$=$	$[[x,y],[x,[x,y]]]$	w_{14}	$=$	$[[x,y],[y,[x,y]]]$

TAB. 1 – Bases de $\mathcal{L}(\Bbbk)$ en degré au plus 5

Lemme 5. *Si $m \geq 1$, $H^1(\Bbbk^\times, \Bbbk_m) = 0$.*

Démonstration. Si $f \in Z^1(\Bbbk^\times, \Bbbk_m)$ et $\alpha_1, \alpha_2 \in \Bbbk$ sont tels que $\alpha_1^m \neq 1$ et $\alpha_2^m \neq 1$,

$$f(\alpha_1\alpha_2) = \alpha_1^m f(\alpha_2) + f(\alpha_1) = f(\alpha_2\alpha_1) = \alpha_2^m f(\alpha_1) + f(\alpha_2)$$

donc $f(\alpha)/(\alpha^m - 1)$ ne dépend pas du choix de α, pourvu que $\alpha^m \neq 1$. Comme car.$\Bbbk = 0$, $\Bbbk^\times \neq \mu_m(\Bbbk)$ et il existe $x \in \Bbbk$ bien défini tel que $f(\alpha) = (\alpha^m - 1)x = \alpha.x - x$ pour tout $\alpha \in \Bbbk^\times \setminus \mu_m(\Bbbk)$. Il reste à montrer que $f(\alpha) = 0$ pour tout $\alpha \in \mu_m(\Bbbk)$. Or la restriction de f à $\mu_m(\Bbbk)$ est dans $\mathrm{Hom}(\mu_m(\Bbbk), \Bbbk) = 0$ puisque $\Bbbk$ est sans torsion, donc f est un cobord et $H^1(\Bbbk^\times, \Bbbk_m) = 0$. □

On en déduit

$$H^1(\Bbbk^\times, A_1) \simeq H^1(\Bbbk^\times, A_0) \simeq \prod_{m \geq 1} H^1(\Bbbk^\times, \Bbbk_m) = 0,$$

le premier isomorphisme découlant de l'isomorphisme de $\Bbbk^\times$-modules entre $(A_0, +)$ et $(A_1, \times)$ donné par l'exponentielle, et le second du fait que $A_0 \simeq \prod_{m\geq 1} \Bbbk_m$ en tant que $\Bbbk^\times$-module.

6. Appendice : Calculs en degré 5

Pour faire les calculs explicitement, on introduit des bases formées de monômes de Lie des composantes homogènes de $\mathcal{A}(\Bbbk)$ jusqu'en degré 5. D'autre part, on note $a \equiv b$ si $\omega(a - b) \geq 6$. Notons ψ_1 et ψ_2 les éléments de $\mathfrak{grt}_1(\Bbbk)$ correspondant aux éléments f_1 et f_2 de l'interprétation « hamiltonienne » de Drinfeld dans [3]. On exprime facilement $\psi_1 = w_5 - w_4$, et

$$\frac{\partial f_2}{\partial x} = -2w_{10} - 2w_{11} - 2w_{12} + 2w_{13} + w_{14}.$$

L'élément ψ_2 se déduit de $\partial f_2/\partial x$ par la transformation involutive $F(x,y) \mapsto F(x, -x-y)$, dont la matrice dans la base $w_9, \ldots, w_{14}$ des éléments de degré 5 s'écrit

$$\begin{pmatrix} -1 & 1 & -1 & 1 & 0 & 0 \\ 0 & 1 & -2 & 3 & 0 & 0 \\ 0 & 0 & -1 & 3 & 0 & 0 \\ 0 & 0 & 0 & 1 & 0 & 0 \\ 0 & 0 & -1 & 2 & 1 & -1 \\ 0 & 0 & 0 & 1 & 0 & -1 \end{pmatrix}$$

d'où

$$\psi_2 = -2w_9 - 4w_{10} - 4w_{11} - 2w_{12} - w_{13} - 3w_{14}.$$

On pose $\psi_{a,b} = a\psi_1 + b\psi_2 \in \mathfrak{grt}_1(\mathbb{k})$ pour $a, b \in \mathbb{k}$, et on note $\Psi_{a,b} \in GRT_1(\mathbb{k})$ son exponentielle au sens du groupe. Si $\Phi \in \mathbb{A}\mathrm{ss}_1(\mathbb{k})$, on sait que l'on peut écrire $\Phi \equiv 1 + \frac{1}{24}w_3 - \mathfrak{c}\psi_1 + \phi_4 + \phi_5$ avec ϕ_4, ϕ_5 homogènes de degrés respectifs 4 et 5. Alors

$$\Phi.\Psi_{a,b} = \exp(s_{\psi_{a,b}})(\Phi) \equiv \Phi + a\psi_1 + b\psi_2 + \frac{a}{24}(w_3\psi_1 + [[\psi_1, x], y]),$$

et de plus $[[\psi_1, x], y]] = -w_{11} - w_{10}$. D'autre part la formule de Le et Murakami [8] dit

$$\Phi_{KZ} \equiv 1 + \frac{w_3}{24} + \tilde{\zeta}(3)\psi_1 + \phi_4^{KZ} + \frac{1}{2}\tilde{\zeta}(5)\psi_2 - \frac{1}{24}\tilde{\zeta}(3)(w_{10} + w_{11} + w_3\psi_1)$$

avec $\tilde{\zeta}(n) = \zeta(n)/(2\mathrm{i}\pi)^n$, et $\phi_4^{KZ} = (-w_7 - 4w_6 - 4w_8 + 5w_3^2)/5760$. On en déduit d'une part que

$$\Phi_0 = \Phi_{KZ}.\Psi_{-\tilde{\zeta}(3), -\tilde{\zeta}(5)/2} \equiv 1 + \frac{1}{24}w_3 + \phi_4^{KZ}$$

est pair jusqu'en degré 6, et d'autre part que tout associateur a les mêmes termes de degré 2 et 4.

Pour obtenir l'expression générale d'un élément de $GT_1(\mathbb{k})$ jusqu'en degré 5, il suffit de calculer $g_{a,b} = \iota_{\Phi_0}(\Psi_{a,b})$, uniquement déterminé par $g_{a,b}.\Phi_0 = \Phi_0.\Psi_{a,b}$. Posons $g_{a,b} = \exp F$. A des termes d'ordre au moins 4 près, on a $\Phi_0 = 1 + w_3/24$, $\Phi_0 e^x \Phi_0^{-1} = e^x + [w_3, x]/24$, et $\log \Phi_0 e^x \Phi_0^{-1} = x - w_4/24$. Notons G_4, G_5 les composantes homogènes de degré 4 et 5 de $g_{a,b}$. On a vu que $g_{a,b} \equiv 1 + a\psi_1 + G_4 + G_5$, d'où $F \equiv a\psi_1 + G_4 + G_5$. Or $\psi_1 = w_5 - w_4$, et

$$\left\{ \begin{array}{lcl} w_4(x - w_4/24, y) & \equiv & w_4 + (w_{10} + 2w_{13})/24 \\ w_5(x - w_4/24, y) & \equiv & w_5 - w_{11}/24 \end{array} \right.$$

d'où

$$F(\log \Phi_0 e^x \Phi_0^{-1}), y) \equiv a\psi_1 + G_4 + G_5 - \frac{a}{24}(w_{10} + w_{11} + 2w_{13}).$$

D'autre part $\Phi_0.\Psi_{a,b} \equiv \Phi_0 + a\psi_1 + b\psi_2 + a(w_3\psi_1 - w_{11} - w_{10})$ d'où

$$\begin{array}{rcl} (\Phi_0.\Psi_{a,b}).\Phi_0^{-1} & = & 1 + a\psi_1 + b\psi_2 + a([w_3, \psi_1] - w_{11} - w_{10})/24 \\ & = & 1 + a\psi_1 + b\psi_2 - a(w_{10} + w_{11} + w_{13} + w_{14})/24 \end{array}$$

et son logarithme vaut

$$a\psi_1 + b\psi_2 - a(w_{10} + w_{11} + w_{13} + w_{14})/24 = F(\log \Phi_0 e^x \Phi_0^{-1}), y)$$

d'où $G_4 = 0$, et $G_5 = b\psi_2 + a(w_{13} - w_{14})/24$ soit

$$G_5 = -\Big(2bw_9 + 4bw_{10} + 4bw_{11} + 2bw_{12} + (b - \frac{a}{24})w_{13} + (b + \frac{a}{24})w_{14}\Big)$$

On peut d'autre part calculer

$$\chi_d(g_{a,b}) = \frac{b_d^s(\Phi_0.\Psi_{a,b})}{b_d^s(\Phi_0)} = 1 - 16adh^3 - 128db(1 + 2d^2)h^5 + \dots$$

Pour faire la comparaison avec les termes $\kappa_m^*(\sigma)$ d'Ihara, il faut calculer, pour chaque monôme de Lie w_r, les éléments $w_r' = \pi_{ab} \circ p_x(w_r(\log(1 + x), \log(1 + y)))$. On trouve

$$\left\{ \begin{array}{lcl} w_4' & \equiv & \frac{1}{2}y^2x^2 - \frac{1}{3}y^3x^2 - x^2y + x^3y - \frac{1}{2}y^2x^3 - \frac{11}{12}x^4y \\ w_5' & \equiv & \frac{1}{3}y^2x^3 + y^2x - \frac{1}{2}y^2x^2 + \frac{1}{2}y^3x^2 - y^3x + \frac{11}{12}y^4x \end{array} \right.$$

et les images de $w_9, \ldots, w_{14}$ sont respectivement $-x^4y, -y^2x^3, -y^3x^2, -y^4x, 0, 0$. On déduit alors de la formule générale de $g_{a,b}$ et de

$$\begin{array}{rl} \psi^{\sigma}_{ab} \equiv & 1 + \frac{\kappa_3^*(\sigma)}{2}(yx^2 + y^2x - yx^3 - y^2x^2 - y^3x) \\ & +(\frac{1}{24}\kappa_5^*(\sigma) + \frac{11}{24}\kappa_3^*(\sigma))(x^4y + y^4x) \\ & +(\frac{5}{12}\kappa_3^*(\sigma) + \frac{1}{12}\kappa_5^*(\sigma))(y^3x^2 + y^2x^3) \end{array}$$

que $a = \kappa_3^*(\sigma)/2$ et $b = \kappa_5^*(\sigma)/48$.

Si $l = 3$, $\kappa_3^*(\sigma) = \kappa_3(\sigma)/8$, $\kappa_5^*(\sigma) = \kappa_5(\sigma)/80$. On peut vérifier

$$\frac{1}{24}(\kappa_5^* + 11\kappa_3^*) = \frac{1}{8.80}\frac{1}{3}(\kappa_5 + 110\kappa_3) \in \mathbb{Z}_3$$

parce que modulo 3 $\kappa_5 + 110\kappa_3 \equiv 111\kappa_3 \equiv 0$,

$$\frac{1}{12}(5\kappa_3^* + \kappa_5^*) = \frac{1}{4.80}\frac{1}{3}(50\kappa_3 + \kappa_5) \in \mathbb{Z}_3$$

car $50\kappa_3 + \kappa_5 \equiv 51\kappa_3 \equiv 0$ modulo 3.

Si $l = 2$, on a $(\kappa_5^* + 11\kappa_3^*)/24 = (3\kappa_5 + 341\kappa_3)/(2^3.279) \in \mathbb{Z}_2$ car $3\kappa_5 + 341\kappa_3 \equiv 8\kappa_3 \equiv 0$ modulo 8. De même $(5\kappa_3^* + \kappa_5^*)/12 = (155\kappa_3 + 3\kappa_5)/(2^2.279) \in \mathbb{Z}_2$ parce que $155\kappa_3 + 3\kappa_5 \equiv 3(\kappa_3 + \kappa_5 \equiv 3.2\kappa_3 \equiv 0$ modulo 4. On a donc vérifié que les coefficients de $\psi^{ab}(\sigma)$ appartiennent à $\mathbb{Z}_l$. On déduit également de ces formules qu'au moins les premiers coefficients de $\chi_d(\sigma)$, $-16ad = -8d\kappa_3^*(\sigma)$ et $-128bd(1 + 2d^2) = -8\kappa_5^*(\sigma)d(1 + 2d^2)/3$ appartiennent à $\mathbb{Z}_l$, puisque $d(1 + 2d^2)$ est divisible par 3 pour tout $d \in \mathbb{N}$.

Références

[1] N. Bourbaki, *Groupes et algèbres de Lie*, Hermann 1968-1982.

[2] V. Chari et A. Pressley, *A guide to quantum groups*, Cambridge University Press, 1995.

[3] V.G. Drinfeld, *On quasitriangular quasi-Hopf algebras and a group closely connected with Gal($\overline{\mathbb{Q}}/\mathbb{Q}$)*, Leningr. Math. J. **2**, No.4, 829-860 (1991).

[4] J. González-Lorca, *Série de Drinfeld, monodromie et algèbres de Hecke*, Thèse de l'université Paris XI-Orsay, 1998.

[5] H. Ichimura, K. Sakaguchi, *The non-vanishing of a certain Kummer character χ_m (after C. Soulé), and some related topics*, in Galois representations and arithmetic algebraic geometry, Proc. Symp., Kyoto 1985 and Tokyo 1986, Adv. Stud. Pure Math. **12**, 53-64 (1987).

[6] Y. Ihara, *Braids, Galois Groups, and Some Arithmetic Functions*, Proc. I.C.M. Kyoto, 1990.

[7] M. Lazard, *Sur les groupes nilpotents et les anneaux de Lie*, Ann. Sci. Éc. Norm. Supér., III. Sér. **71**, 101-190 (1954).

[8] T.Q.T. Le, J. Murakami, *The universal Vassiliev-Kontsevitch invariant for framed oriented links*, Compositio Math. **102**, 41-64 (1996).

[9] I. Marin, *On KZ-systems which are irreducible under the action of the symmetric group*, C. R. Acad. Sci., Paris, Sér. I, Math. **333**, No.6, 517-522 (2001).

[10] I. Marin, *Quotients infinitésimaux du groupe de tresses*, Ann. Inst. Fourier, Grenoble, **53** No. 5, 1323-1364 (2003).

[11] I. Marin, *Irréductibilité générique des produits tensoriels de monodromies*, Bull. Soc. Math. Fr. **132**, 201-232 (2004).

[12] I. Marin, *On the representation theory of braid groups*, soumis pour publication.

[13] G. Racinet, *Séries génératrices non-commutatives de polyzêtas et associateurs de Drinfeld*, Thèse de l'université Paris XI-Orsay, 2000.

[14] C. Soulé, *On higher p-adic regulators*, Algebraic K-theory, Proc. Conf., Evanston 1980, Lect. Notes Math. **854**, 372-401 (1981).

[15] C. Soulé, *Éléments cyclotomiques en K-théorie*, Journées arithmétiques de Besanon 1985, Astérisque **147-148**, 225-257 (1987).

69 rue Sébastien Gryphe, F-69007 Lyon
E-mail address: imarin@maths.univ-evry.fr
URL: http://www.maths.univ-evry.fr/pages_perso/marin/